



Centrale "Edoardo Amaldi" di La Casella

Progetto di installazione di una Nuova  
Unità a gas

**Aggiornamento Valutazione di Impatto  
Sanitario a seguito del Parere ISS (Prot.  
n. AOO-ISS-26/01/2021 – 0002428)**

**Allegato 2d**

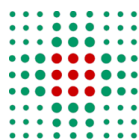
Dati epidemiologici ricevuti dalla ASL di  
Piacenza

## VALUTAZIONE DI IMPATTO SANITARIO

ai sensi dell'art. 5 c. 1 lettera 1-1bis del D.Lgs. 152/06 e s.m.i.



**Progetto n.** 20532I  
**Revisione:** 00  
**Data:** Dicembre 2021  
**Nome File:** 20532I\_All.2d\_La Casella\_Dati ASL Piacenza.docx



**SERVIZIO SANITARIO REGIONALE**  
**EMILIA-ROMAGNA**  
Azienda Unità Sanitaria Locale di Piacenza

Dipartimento di Sanità Pubblica  
U.O. Epidemiologia e Promozione della salute

Il direttore

Spett.le Enel Produzione S.p.A.  
pec: enelproduzione@pec.enel.it

**Oggetto: Procedimento di Valutazione di Impatto Ambientale del progetto di realizzazione nell'area della centrale Amaldi di La Casella di una nuova unità a gas. Richiesta dati per definizione di Profili di Salute**

In riferimento alla Vs nota del 10/02/2021, si trasmettono i dati relativi ai tassi standardizzati di mortalità (ALLEGATO 1) e ospedalizzazione (ALLEGATO 2) e relativi intervalli di confidenza al 90% per i comuni richiesti.

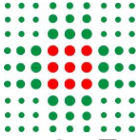
I tassi di ospedalizzazione sono stati calcolati secondo le indicazioni riportate nell'Allegato 1 della richiesta. Si precisa, come da istruzioni, che il calcolo è stato effettuato sulla base dei ricoveri, non essendo disponibile il dato relativo ai ricoverati. I tassi di mortalità sono stati forniti dal Registro di Mortalità regionale e le cause di morte sono raggruppate secondo standard predefiniti di utilizzo corrente a livello regionale e nazionale, di cui si fornisce di seguito il dettaglio nei casi in cui differiscano da quanto proposto:

1. Tasso di mortalità per cause naturali, richiesta codici ICD-10 A00-N99 P00-R99, effettuato A00-R99, per includere anche cause da parto e puerperio, essendo il dato dei codici O esclusi nella richiesta pari a 0 non c'è differenza tra i due gruppi
2. Tasso di mortalità per tumori della trachea, bronchi e polmone, richiesta codici ICD-10 C33-C34, effettuato C33-C34 D381, in quanto in Emilia Romagna non si applica durante la codifica la presunzione di malignità a tutti i tumori descritti come neoplasie (come da regola internazionale) il gruppo è sovrapponibile numericamente a quello richiesto

**Il responsabile del procedimento**  
File:

**Epidemiologia e Promozione della salute – Il Direttore**  
Piazzale Milano, 2 – 29100 Piacenza  
T. +39.0523.317903 – F. +39.0523.317929  
e.mail : [G.Chiaranda@ausl.pc.it](mailto:G.Chiaranda@ausl.pc.it) – [www.ausl.pc.it](http://www.ausl.pc.it)

**Azienda Unità Sanitaria Locale di Piacenza**  
Sede legale: Via Antonio Anguissola, 15 – 29121 Piacenza  
T. +39.0523.301111 – F. +39.0523.398775  
Codice fiscale 91002500337  
PEC [contatinfo@pec.ausl.pc.it](mailto:contatinfo@pec.ausl.pc.it)  
PEI [protocollounico@pec.ausl.pc.it](mailto:protocollounico@pec.ausl.pc.it)



3. Tasso di mortalità per malattie respiratorie acute, richiesta codici ICD-10 J00-J06, J10-J18, J20-J22, effettuato J12-122 in quanto di routine è analizzato separatamente questo gruppo (infezioni acute basse vie respiratorie) dal gruppo influenza (J09-J119), e non analizziamo il gruppo J00-J06 (infezioni acute delle alte vie respiratorie), per la frequenza molto bassa di queste ultime cause si ritengono i due gruppi sovrapponibili
4. Tasso di mortalità per malattie polmonari croniche, richiesta codici ICD-10 J41-J44, J47, effettuato J40-J479, anche in questo caso si ritengono i gruppi sovrapponibili
5. Tasso di mortalità per infarto miocardico acuto, richiesta codici ICD-10 I21-I24, effettuato I21-I239 in quanto usiamo criteri più restrittivi per la definizione dell'IMA

Distinti Saluti,

Giorgio Chiaranda

**LA PRESENTE COPIA E' CONFORME ALL'ORIGINALE DEPOSITATO.**  
Elenco firme associate al file con impronta SHA1 (hex):

**D9-A0-A5-33-BA-D8-28-66-C2-2A-C8-AB-E8-42-23-62-EF-CF-F6-50**

CADES 1 di 1 del 19/10/2021 14:30:43

Soggetto: GIORGIO CHIARANDA CHRGRG78M17L736R



Validità certificato dal 18/02/2021 17:13:45 al 18/02/2024 17:13:45

Rilasciato da ArubaPEC EU Qualified Certificates CA G1, ArubaPEC S.p.A., IT con S.N. 52FA DF9C 6F

---

Numero decessi, smr (tassi di riferimento: tassi specifici per età e sesso Regione Emilia Romagna 2

Comune di residenza	Causa di morte	Maschi			N
		N	SMR	IC 90%	
Borgonovo Val Tidone	Tumori	84	1,27	1,1-1,5	59
	Tum.Mal. trachea, bronchi, polmone	20	1,25	0,8-1,8	6
	Mal. Sist. Circolatorio	71	1,12	0,9-1,4	90
	Infarto miocardico acuto	9	1,06	0,6-1,9	6
	Card. ischemiche	24	1,08	0,7-1,5	15
	Malattie cerebrovascolari	18	1,32	0,9-2,0	27
	Mal. Sist. Respiratorio	22	1,19	0,8-1,7	13
	Infezioni acute basse vie resp.	8	1,22	0,6-2,2	8
	Mal. croniche basse vie resp.	9	1,22	0,6-2,1	2
	Asma	0	0,00	0,0-36,3	0
	Mal. App. Digerente	8	1,13	0,6-2,0	7
	Mal. App. Genitourinario	6	1,37	0,6-2,7	7
	Mortalità causa naturale	219	1,14	1,0-1,3	253
	Mortalità generale	230	1,13	1,0-1,3	266
Calendasco	Tumori	25	1,16	0,8-1,6	20
	Tum.Mal. trachea, bronchi, polmone	7	1,34	0,6-2,5	2
	Mal. Sist. Circolatorio	27	1,35	1,0-1,9	17
	Infarto miocardico acuto	3	1,10	0,3-2,8	2
	Card. ischemiche	10	1,41	0,8-2,4	3
	Malattie cerebrovascolari	8	1,86	0,9-3,4	7
	Mal. Sist. Respiratorio	7	1,21	0,6-2,3	4
	Infezioni acute basse vie resp.	3	1,47	0,4-3,8	1
	Mal. croniche basse vie resp.	4	1,72	0,6-3,9	2
	Asma	0	0,00	0,0-114,5	0
	Mal. App. Digerente	1	0,44	0,0-2,1	1
	Mal. App. Genitourinario	2	1,47	0,3-4,6	3
	Mortalità causa naturale	73	1,19	1,0-1,4	63
	Mortalità generale	81	1,24	1,0-1,5	65
Castel San Giovanni	Tumori	125	1,16	1,0-1,4	123
	Tum.Mal. trachea, bronchi, polmone	28	1,07	0,8-1,5	16
	Mal. Sist. Circolatorio	113	1,15	1,0-1,3	150
	Infarto miocardico acuto	16	1,18	0,7-1,8	17
	Card. ischemiche	37	1,06	0,8-1,4	30
	Malattie cerebrovascolari	30	1,42	1,0-1,9	53
	Mal. Sist. Respiratorio	31	1,10	0,8-1,5	33
	Infezioni acute basse vie resp.	11	1,10	0,6-1,8	16
	Mal. croniche basse vie resp.	13	1,14	0,7-1,8	8
	Asma	0	0,00	0,0-22,3	0
	Mal. App. Digerente	4	0,36	0,1-0,8	15
	Mal. App. Genitourinario	10	1,51	0,8-2,6	8
	Mortalità causa naturale	342	1,13	1,0-1,2	414

	Mortalità generale	356	1,10	1,0-1,2	433
Gagnano Trebbiese	Tumori	39	1,17	0,9-1,5	35
	Tum.Mal. trachea, bronchi, polmone	8	0,98	0,5-1,8	6
	Mal. Sist. Circolatorio	38	1,24	0,9-1,6	53
	Infarto miocardico acuto	4	0,94	0,3-2,2	3
	Card. ischemiche	7	0,64	0,3-1,2	9
	Malattie cerebrovascolari	10	1,52	0,8-2,6	17
	Mal. Sist. Respiratorio	9	1,02	0,5-1,8	5
	Infezioni acute basse vie resp.	4	1,29	0,4-3,0	3
	Mal. croniche basse vie resp.	2	0,57	0,1-1,8	2
	Asma	0	0,00	0,0-71,2	0
	Mal. App. Digerente	5	1,42	0,6-3,0	2
	Mal. App. Genitourinario	4	1,94	0,7-4,4	5
	Mortalità causa naturale	105	1,11	0,9-1,3	125
	Mortalità generale	111	1,10	0,9-1,3	130
	Rottofreno	Tumori	87	1,00	0,8-1,2
Tum.Mal. trachea, bronchi, polmone		24	1,12	0,8-1,6	14
Mal. Sist. Circolatorio		86	1,09	0,9-1,3	118
Infarto miocardico acuto		11	1,00	0,6-1,6	13
Card. ischemiche		26	0,93	0,6-1,3	32
Malattie cerebrovascolari		28	1,66	1,2-2,3	38
Mal. Sist. Respiratorio		24	1,07	0,7-1,5	34
Infezioni acute basse vie resp.		10	1,26	0,7-2,1	15
Mal. croniche basse vie resp.		10	1,10	0,6-1,9	14
Asma		0	0,00	0,0-27,2	0
Mal. App. Digerente		15	1,64	1,0-2,5	9
Mal. App. Genitourinario		8	1,52	0,8-2,7	8
Mortalità causa naturale		277	1,13	1,0-1,3	314
Mortalità generale		293	1,12	1,0-1,2	328
Sarmato		Tumori	22	1,01	0,7-1,4
	Tum.Mal. trachea, bronchi, polmone	7	1,29	0,6-2,4	4
	Mal. Sist. Circolatorio	21	1,10	0,7-1,6	23
	Infarto miocardico acuto	4	1,47	0,5-3,4	0
	Card. ischemiche	11	1,61	0,9-2,7	2
	Malattie cerebrovascolari	4	0,98	0,3-2,2	5
	Mal. Sist. Respiratorio	6	1,11	0,5-2,2	7
	Infezioni acute basse vie resp.	5	2,65	1,0-5,6	1
	Mal. croniche basse vie resp.	0	0,00	0,0-1,4	4
	Asma	0	0,00	0,0-111,2	0
	Mal. App. Digerente	2	0,89	0,2-2,8	1
	Mal. App. Genitourinario	2	1,59	0,3-5,0	4
	Mortalità causa naturale	65	1,09	0,9-1,3	80
	Mortalità generale	70	1,10	0,9-1,3	83
		Tumori	34	1,17	0,9-1,6
	Tum.Mal. trachea, bronchi, polmone	5	0,73	0,3-1,5	1

Ziano Piacentino	Mal. Sist. Circolatorio	28	0,93	0,7-1,3	47
	Infarto miocardico acuto	2	0,53	0,1-1,7	6
	Card. ischemiche	4	0,38	0,1-0,9	12
	Malattie cerebrovascolari	10	1,54	0,8-2,6	16
	Mal. Sist. Respiratorio	7	0,78	0,4-1,5	4
	Infezioni acute basse vie resp.	2	0,62	0,1-2,0	3
	Mal. croniche basse vie resp.	2	0,56	0,1-1,8	0
	Asma	0	0,00	0,0-85,4	0
	Mal. App. Digerente	3	0,94	0,3-2,4	4
	Mal. App. Genitourinario	0	0,00	0,0-1,4	6
	Mortalità causa naturale	85	0,96	0,8-1,1	93
	Mortalità generale	93	1,00	0,8-1,2	96

015-2019 ) e IC al 90%, distinti per sesso, cause e comuni di residenza d'interesse

Femmine		Totale		
SMR	IC 90%	N	SMR	IC 90%
1,03	0,8-1,3	143	1,16	1,0-1,3
0,73	0,3-1,5	26	1,08	0,8-1,5
1,02	0,9-1,2	161	1,06	0,9-1,2
0,81	0,4-1,6	15	0,94	0,6-1,5
0,71	0,4-1,1	39	0,90	0,7-1,2
1,24	0,9-1,7	45	1,27	1,0-1,6
0,67	0,4-1,1	35	0,93	0,7-1,2
1,04	0,5-1,9	16	1,12	0,7-1,7
0,30	0,1-0,9	11	0,78	0,4-1,3
0,00	0,0-16,9	0	0,00	0,0-11,5
0,81	0,4-1,5	15	0,95	0,6-1,5
1,19	0,6-2,2	13	1,27	0,8-2,0
1,10	1,0-1,2	472	1,12	1,0-1,2
1,11	1,0-1,2	496	1,12	1,0-1,2
1,24	0,8-1,8	45	1,20	0,9-1,5
0,85	0,2-2,7	9	1,19	0,6-2,1
0,74	0,5-1,1	44	1,02	0,8-1,3
1,01	0,2-3,2	5	1,06	0,4-2,2
0,54	0,1-1,4	13	1,03	0,6-1,6
1,22	0,6-2,3	15	1,49	0,9-2,3
0,78	0,3-1,8	11	1,01	0,6-1,7
0,50	0,0-2,4	4	0,99	0,3-2,3
1,11	0,2-3,5	6	1,45	0,6-2,9
0,00	0,0-62,8	0	0,00	0,0-40,6
0,43	0,0-2,0	2	0,44	0,1-1,4
1,95	0,5-5,0	5	1,72	0,7-3,6
1,02	0,8-1,3	136	1,10	1,0-1,3
1,01	0,8-1,2	146	1,13	1,0-1,3
1,27	1,1-1,5	248	1,21	1,1-1,3
1,14	0,7-1,7	44	1,09	0,8-1,4
1,02	0,9-1,2	263	1,07	1,0-1,2
1,37	0,9-2,1	33	1,27	0,9-1,7
0,85	0,6-1,1	67	0,95	0,8-1,2
1,45	1,1-1,8	83	1,44	1,2-1,7
1,02	0,7-1,4	64	1,05	0,8-1,3
1,25	0,8-1,9	27	1,18	0,8-1,6
0,70	0,4-1,3	21	0,92	0,6-1,3
0,00	0,0-10,1	0	0,00	0,0-6,9
1,03	0,6-1,6	19	0,74	0,5-1,1
0,82	0,4-1,5	18	1,09	0,7-1,6
1,07	1,0-1,2	756	1,09	1,0-1,2

## Codici Cause d'interesse

"TUMORI (C00-D48)"  
 " T. mal. trachea, bron  
 "MAL. SISTEMA CIRCOL  
 " Infarto miocardico ac  
 " Cardiopatie ischemic  
 " Malattie cerebrovasc  
 "MAL. SISTEMA RESPIR  
 " Infezioni acute basse  
 " Mal. croniche basse  
 " Asma (J45-J46)"  
 "MAL. APPARATO DIGE  
 "MAL. APPARATO GENI  
 "Mortalità causa natura  
 "Mortalità generale (AC



1,08	1,0-1,2	789	1,09	1,0-1,2
1,23	0,9-1,6	74	1,20	1,0-1,5
1,46	0,6-2,9	14	1,14	0,7-1,8
1,25	1,0-1,6	91	1,25	1,0-1,5
0,84	0,2-2,2	7	0,89	0,4-1,7
0,88	0,5-1,5	16	0,76	0,5-1,2
1,62	1,0-2,4	27	1,58	1,1-2,2
0,54	0,2-1,1	14	0,77	0,5-1,2
0,82	0,2-2,1	7	1,03	0,5-1,9
0,61	0,1-1,9	4	0,59	0,2-1,3
0,00	0,0-34,3	0	0,00	0,0-23,2
0,48	0,1-1,5	7	0,91	0,4-1,7
1,78	0,7-3,7	9	1,85	1,0-3,2
1,12	1,0-1,3	230	1,11	1,0-1,2
1,12	1,0-1,3	241	1,11	1,0-1,2
1,11	0,9-1,3	166	1,05	0,9-1,2
1,33	0,8-2,1	38	1,19	0,9-1,6
1,20	1,0-1,4	204	1,15	1,0-1,3
1,53	0,9-2,4	24	1,23	0,8-1,7
1,34	1,0-1,8	58	1,12	0,9-1,4
1,55	1,2-2,0	66	1,59	1,3-2,0
1,56	1,1-2,1	58	1,31	1,0-1,6
1,76	1,1-2,7	25	1,52	1,1-2,1
1,82	1,1-2,8	24	1,43	1,0-2,0
0,00	0,0-14,3	0	0,00	0,0-9,4
0,90	0,5-1,6	24	1,25	0,9-1,8
1,22	0,6-2,2	16	1,35	0,8-2,1
1,18	1,1-1,3	591	1,16	1,1-1,2
1,18	1,1-1,3	621	1,15	1,1-1,2
1,54	1,1-2,1	50	1,25	1,0-1,6
1,48	0,5-3,4	11	1,36	0,8-2,2
0,90	0,6-1,3	44	0,99	0,8-1,3
0,00	0,0-1,4	4	0,81	0,3-1,9
0,32	0,1-1,0	13	1,00	0,6-1,6
0,78	0,3-1,6	9	0,86	0,4-1,5
1,24	0,6-2,3	13	1,17	0,7-1,9
0,45	0,0-2,1	6	1,46	0,6-2,9
2,00	0,7-4,6	4	0,96	0,3-2,2
0,00	0,0-56,2	0	0,00	0,0-37,3
0,39	0,0-1,8	3	0,62	0,2-1,6
2,35	0,8-5,4	6	2,03	0,9-4,0
1,16	1,0-1,4	145	1,13	1,0-1,3
1,16	1,0-1,4	153	1,13	1,0-1,3
0,67	0,4-1,0	49	0,96	0,7-1,2
0,32	0,0-1,5	6	0,60	0,3-1,2

1,26	1,0-1,6	75	1,11	0,9-1,3
1,94	0,8-3,8	8	1,17	0,6-2,1
1,34	0,8-2,2	16	0,83	0,5-1,3
1,73	1,1-2,6	26	1,65	1,2-2,3
0,49	0,2-1,1	11	0,64	0,4-1,1
0,91	0,2-2,4	5	0,77	0,3-1,6
0,00	0,0-1,1	2	0,31	0,1-1,0
0,00	0,0-41,5	0	0,00	0,0-28,0
1,12	0,4-2,6	7	1,03	0,5-1,9
2,41	1,0-4,7	6	1,29	0,6-2,6
0,97	0,8-1,2	178	0,97	0,9-1,1
0,97	0,8-1,1	189	0,98	0,9-1,1

chi, polmone (C33-C34, D38.1)"

vie respiratorie (J12-J22)"

vie respiratorie (J40-J47)"

ITOURINARIO (N00-N99)"

Numero decessi, tassi grezzi e standardizzati (popolazione standard: popolazione totale Regione Em)

Comune di residenza	Causa di morte	Maschi			N
		N	Tasso grezzo	Tasso stand.to	
Borgonovo Val Tidone	Tumori	84	426,46	491,63	59
	Tum.Mal. trachea, bronchi, polmone	20	101,54	113,95	6
	Mal. Sist. Circolatorio	71	360,46	436,03	90
	Infarto miocardico acuto	9	45,69	53,66	6
	Card. ischemiche	24	121,85	147,18	15
	Malattie cerebrovascolari	18	91,38	111,01	27
	Mal. Sist. Respiratorio	22	111,69	132,53	13
	Infezioni acute basse vie resp.	8	40,62	49,15	8
	Mal. croniche basse vie resp.	9	45,69	52,94	2
	Asma	0	-	-	0
	Mal. App. Digerente	8	40,62	49,67	7
	Mal. App. Genitourinario	6	30,46	37,33	7
	Mortalità causa naturale	219	1.111,84	1.312,55	253
	Mortalità generale	230	1.167,69	1.373,15	266
Calendasco	Tumori	25	398,34	445,63	20
	Tum.Mal. trachea, bronchi, polmone	7	111,54	129,17	2
	Mal. Sist. Circolatorio	27	430,21	502,72	17
	Infarto miocardico acuto	3	47,80	58,38	2
	Card. ischemiche	10	159,34	184,23	3
	Malattie cerebrovascolari	8	127,47	145,23	7
	Mal. Sist. Respiratorio	7	111,54	125,35	4
	Infezioni acute basse vie resp.	3	47,80	55,12	1
	Mal. croniche basse vie resp.	4	63,73	70,23	2
	Asma	0	-	-	0
	Mal. App. Digerente	1	15,93	20,62	1
	Mal. App. Genitourinario	2	31,87	41,24	3
	Mortalità causa naturale	73	1.163,16	1.342,66	63
	Mortalità generale	81	1.290,63	1.482,48	65
Castel San Giovanni	Tumori	125	369,01	444,41	123
	Tum.Mal. trachea, bronchi, polmone	28	82,66	101,26	16
	Mal. Sist. Circolatorio	113	333,59	444,49	150
	Infarto miocardico acuto	16	47,23	56,86	17
	Card. ischemiche	37	109,23	141,12	30
	Malattie cerebrovascolari	30	88,56	120,42	53
	Mal. Sist. Respiratorio	31	91,52	122,91	33
	Infezioni acute basse vie resp.	11	32,47	45,32	16
	Mal. croniche basse vie resp.	13	38,38	53,95	8
	Asma	0	-	-	0
	Mal. App. Digerente	4	11,81	12,90	15
	Mal. App. Genitourinario	10	29,52	40,78	8
	Mortalità causa naturale	342	1.009,62	1.293,26	414
	Mortalità generale	356	1.050,95	1.340,18	433
	Tumori	39	345,29	428,85	35
	Tum.Mal. trachea, bronchi, polmone	8	70,83	83,57	6
	Mal. Sist. Circolatorio	38	336,43	469,53	53

Gragnano Trebbiese	Infarto miocardico acuto	4	35,41	40,98	3
	Card. ischemiche	7	61,97	79,51	9
	Malattie cerebrovascolari	10	88,53	117,36	17
	Mal. Sist. Respiratorio	9	79,68	116,55	5
	Infezioni acute basse vie resp.	4	35,41	55,04	3
	Mal. croniche basse vie resp.	2	17,71	27,52	2
	Asma	0	-	-	0
	Mal. App. Digerente	5	44,27	59,13	2
	Mal. App. Genitourinario	4	35,41	55,04	5
	Mortalità causa naturale	105	929,61	1.257,70	125
	Mortalità generale	111	982,74	1.329,01	130
	Rottofreno	Tumori	87	288,86	383,41
Tum.Mal. trachea, bronchi, polmone		24	79,69	106,09	14
Mal. Sist. Circolatorio		86	285,54	421,41	118
Infarto miocardico acuto		11	36,52	45,69	13
Card. ischemiche		26	86,33	121,67	32
Malattie cerebrovascolari		28	92,97	138,38	38
Mal. Sist. Respiratorio		24	79,69	119,48	34
Infezioni acute basse vie resp.		10	33,20	49,20	15
Mal. croniche basse vie resp.		10	33,20	53,41	14
Asma		0	-	-	0
Mal. App. Digerente		15	49,80	66,49	9
Mal. App. Genitourinario		8	26,56	36,60	8
Mortalità causa naturale		277	919,72	1.302,80	314
Mortalità generale		293	972,84	1.364,99	328
Sarmato	Tumori	22	305,94	350,75	28
	Tum.Mal. trachea, bronchi, polmone	7	97,34	108,08	4
	Mal. Sist. Circolatorio	21	292,03	413,35	23
	Infarto miocardico acuto	4	55,63	55,65	0
	Card. ischemiche	11	152,97	195,07	2
	Malattie cerebrovascolari	4	55,63	95,64	5
	Mal. Sist. Respiratorio	6	83,44	143,45	7
	Infezioni acute basse vie resp.	5	69,53	119,54	1
	Mal. croniche basse vie resp.	0	-	-	4
	Asma	0	-	-	0
	Mal. App. Digerente	2	27,81	39,04	1
	Mal. App. Genitourinario	2	27,81	47,82	4
	Mortalità causa naturale	65	903,91	1.221,13	80
	Mortalità generale	70	973,44	1.320,76	83
Ziano Piacentino	Tumori	34	526,97	453,55	15
	Tum.Mal. trachea, bronchi, polmone	5	77,50	68,82	1
	Mal. Sist. Circolatorio	28	433,97	355,26	47
	Infarto miocardico acuto	2	31,00	24,52	6
	Card. ischemiche	4	62,00	49,04	12
	Malattie cerebrovascolari	10	154,99	131,22	16
	Mal. Sist. Respiratorio	7	108,49	90,27	4
	Infezioni acute basse vie resp.	2	31,00	24,52	3
	Mal. croniche basse vie resp.	2	31,00	24,52	0
	Asma	0	-	-	0
	Mal. App. Digerente	3	46,50	39,39	4

<b>Mal. App. Genitourinario</b>	0	-	-	6
<b>Mortalità causa naturale</b>	85	1.317,42	1.100,76	93
<b>Mortalità generale</b>	93	1.441,41	1.213,72	96

ilia-Romagna 2011), distinti per sesso, cause e comuni di residenza d'interesse

Femmine		Totale		
Tasso grezzo	Tasso stand.to	N	Tasso grezzo	Tasso stand.to
293,20	244,63	143	359,12	340,85
29,82	26,17	26	65,29	62,67
447,25	330,97	161	404,32	371,26
29,82	23,63	15	37,67	35,09
74,54	55,72	39	97,94	90,22
134,17	99,98	45	113,01	103,94
64,60	51,46	35	87,90	83,32
39,76	30,30	16	40,18	37,72
9,94	8,80	11	27,62	26,10
-	-	0	-	-
34,79	31,41	15	37,67	35,67
34,79	24,96	13	32,65	29,84
1.257,27	965,01	472	1.185,33	1.103,43
1.321,87	1.017,79	496	1.245,61	1.160,47
332,28	281,67	45	366,00	356,77
33,23	27,02	9	73,20	72,66
282,44	244,82	44	357,87	359,58
33,23	31,75	5	40,67	41,54
49,84	45,70	13	105,73	104,79
116,30	97,63	15	122,00	122,92
66,46	56,12	11	89,47	89,38
16,61	13,95	4	32,53	33,22
33,23	28,22	6	48,80	47,84
-	-	0	-	-
16,61	17,81	2	16,27	17,11
49,84	41,84	5	40,67	41,60
1.046,69	893,12	136	1.106,14	1.101,82
1.079,91	924,85	146	1.187,47	1.183,18
350,05	299,80	248	359,36	356,30
45,53	38,27	44	63,76	62,77
426,89	333,96	263	381,09	377,27
48,38	38,96	33	47,82	47,46
85,38	67,65	67	97,08	96,56
150,83	116,00	83	120,27	118,66
93,92	76,10	64	92,74	92,32
45,53	36,38	27	39,12	38,86
22,77	18,80	21	30,43	30,21
-	-	0	-	-
42,69	33,80	19	27,53	27,17
22,77	17,68	18	26,08	25,86
1.178,21	948,65	756	1.095,46	1.086,18
1.232,28	993,68	789	1.143,28	1.133,34
300,84	286,76	74	322,74	351,72
51,57	50,66	14	61,06	64,82
455,56	410,67	91	396,88	438,74

25,79	23,51	7	30,53	32,31
77,36	69,42	16	69,78	75,71
146,12	137,74	27	117,75	132,49
42,98	41,01	14	61,06	68,81
25,79	22,42	7	30,53	33,90
17,19	18,59	4	17,45	20,10
-	-	0	-	-
17,19	14,95	7	30,53	33,03
42,98	37,37	9	39,25	43,59
1.074,44	980,40	230	1.003,10	1.102,79
1.117,41	1.026,38	241	1.051,07	1.156,23
254,05	262,73	166	271,18	311,88
45,02	46,67	38	62,08	72,00
379,47	391,82	204	333,26	406,45
41,81	42,91	24	39,21	46,38
102,91	106,83	58	94,75	115,10
122,20	124,64	66	107,82	131,42
109,34	112,36	58	94,75	116,21
48,24	49,55	25	40,84	50,53
45,02	46,59	24	39,21	48,18
-	-	0	-	-
28,94	30,47	24	39,21	45,76
25,73	26,44	16	26,14	31,81
1.009,78	1.041,41	591	965,47	1.156,65
1.054,80	1.086,55	621	1.014,47	1.211,37
388,57	364,43	50	347,29	374,96
55,51	55,97	11	76,40	79,01
319,18	295,56	44	305,62	349,68
-	-	4	27,78	28,63
27,75	25,08	13	90,30	100,07
69,39	63,64	9	62,51	72,93
97,14	94,01	13	90,30	105,43
13,88	12,54	6	41,68	49,35
55,51	53,27	4	27,78	32,15
-	-	0	-	-
13,88	12,54	3	20,84	23,58
55,51	51,61	6	41,68	46,11
1.110,19	1.030,83	145	1.007,15	1.127,85
1.151,82	1.069,85	153	1.062,72	1.188,42
242,44	157,12	49	387,69	298,45
16,16	11,52	6	47,47	40,11
759,66	415,33	75	593,40	394,97
96,98	56,82	8	63,30	42,18
193,96	106,12	16	126,59	81,54
258,61	131,44	26	205,71	138,30
64,65	32,86	11	87,03	59,61
48,49	24,65	5	39,56	24,60
-	-	2	15,82	9,84
-	-	0	-	-
64,65	32,86	7	55,38	37,84



96,98	49,29	6	47,47	29,51
1.503,15	836,80	178	1.408,34	975,37
1.551,64	870,61	189	1.495,37	1.048,16

comune	osservati	attesi	shr	Inf IC 90%	Sup IC 90%	comune
2015-m						2015-f
33006	38	33,57	1,132	[0,847671,	1,483533]	33006
33008	14	11,14	1,257	[0,759841,	1,964837]	33008
33013	55	56,07	0,981	[0,774003,	1,228014]	33013
33024	19	17,43	1,09	[0,713920,	1,599712]	33024
33039	51	45,78	1,114	[0,870380,	1,406674]	33039
33042	13	11,76	1,105	[0,653846,	1,757451]	33042
33048	12	13,85	0,866	[0,499869,	1,403586]	33048
2016-m						2016-f
33006	32	32,94	0,972	[0,707372,	1,305060]	33006
33008	14	11,05	1,267	[0,765747,	1,980108]	33008
33013	47	55,37	0,849	[0,655919,	1,082405]	33013
33024	14	17,24	0,812	[0,491046,	1,269772]	33024
33039	50	45,21	1,106	[0,861890,	1,399895]	33039
33042	9	11,53	0,78	[0,407145,	1,361872]	33042
33048	12	13,46	0,891	[0,514367,	1,444297]	33048
2017-m						2017-f
33006	35	32,3	1,084	[0,801020,	1,436845]	33006
33008	7	10,71	0,654	[0,306710,	1,227478]	33008
33013	54	54,02	1	[0,786926,	1,254049]	33013
33024	13	16,89	0,77	[0,455249,	1,223650]	33024
33039	52	44,95	1,157	[0,906128,	1,457401]	33039
33042	5	11,34	0,441	[0,173706,	0,926925]	33042
33048	12	12,96	0,926	[0,534281,	1,500213]	33048
2018-m						2018-f
33006	35	32,41	1,08	[0,798317,	1,431995]	33006
33008	8	10,66	0,751	[0,373595,	1,354672]	33008
33013	58	53,94	1,075	[0,854046,	1,338105]	33013
33024	10	17,08	0,586	[0,317680,	0,993209]	33024
33039	30	44,93	0,668	[0,480628,	0,905668]	33039
33042	7	11,34	0,617	[0,289712,	1,159451]	33042
33048	7	12,8	0,547	[0,256722,	1,027423]	33048
2019-m						2019-f
33006	26	32,17	0,808	[0,566261,	1,121318]	33006
33008	13	10,57	1,23	[0,727524,	1,955488]	33008
33013	52	53,99	0,963	[0,754426,	1,213407]	33013
33024	14	17,24	0,812	[0,490978,	1,269597]	33024
33039	45	45,27	0,994	[0,763503,	1,274491]	33039
33042	12	11,48	1,045	[0,603239,	1,693840]	33042
33048	14	12,83	1,091	[0,659453,	1,705248]	33048
<b>2015-19-m</b>						<b>2015-19-f</b>
<b>33006</b>	<b>166</b>	<b>163,39</b>	<b>1,02</b>	<b>0,89</b>	<b>1,14</b>	<b>33006</b>
<b>33008</b>	<b>56</b>	<b>54,13</b>	<b>1,03</b>	<b>0,81</b>	<b>1,26</b>	<b>33008</b>
<b>33013</b>	<b>266</b>	<b>273,39</b>	<b>0,97</b>	<b>0,87</b>	<b>1,07</b>	<b>33013</b>

33024	70	85,88	0,82	0,64	0,99	33024
33039	228	226,14	1,01	0,90	1,12	33039
33042	46	57,45	0,80	0,58	1,02	33042
33048	57	65,9	0,86	0,66	1,07	33048

osservati	attesi	shr	Inf IC 90%	Sup IC 90%
21	30,1	0,698	[0,467500, 1,004647]	
13	8,86	1,467	[0,867449, 2,331587]	
67	51,31	1,306	[1,054864, 1,600141]	
15	15,42	0,973	[0,599737, 1,498129]	
36	40,23	0,895	[0,664409, 1,181635]	
8	10,17	0,787	[0,391517, 1,419660]	
6	11,02	0,545	[0,237132, 1,074701]	
26	29,53	0,881	[0,617006, 1,221803]	
12	8,79	1,364	[0,787324, 2,210736]	
43	50,22	0,856	[0,653373, 1,104147]	
15	15,4	0,974	[0,600508, 1,500056]	
31	39,97	0,776	[0,561552, 1,046760]	
19	9,96	1,908	[1,249439, 2,799674]	
13	10,56	1,231	[0,727914, 1,956537]	
30	29,14	1,03	[0,741135, 1,396555]	
11	8,78	1,253	[0,702933, 2,074670]	
49	49,72	0,985	[0,765907, 1,250391]	
12	15,44	0,777	[0,448534, 1,259442]	
45	40,08	1,123	[0,862409, 1,439591]	
11	9,78	1,124	[0,630516, 1,860936]	
16	10,52	1,521	[0,953803, 2,309549]	
27	29,08	0,929	[0,655387, 1,280441]	
17	8,62	1,972	[1,256508, 2,957862]	
61	49,81	1,225	[0,978555, 1,515513]	
14	15,36	0,911	[0,550901, 1,424548]	
29	40,26	0,72	[0,515279, 0,982100]	
5	9,76	0,512	[0,201799, 1,076834]	
14	10,38	1,349	[0,815741, 2,109385]	
18	28,75	0,626	[0,404714, 0,928507]	
8	8,28	0,966	[0,480831, 1,743515]	
65	49,19	1,321	[1,063903, 1,624521]	
14	14,8	0,946	[0,571815, 1,478629]	
39	39,69	0,983	[0,738976, 1,283571]	
11	9,69	1,135	[0,636642, 1,879018]	
10	9,96	1,004	[0,544823, 1,703357]	
<b>122</b>	<b>146,6</b>	<b>0,83</b>	<b>0,70</b>	<b>0,97</b>
<b>61</b>	<b>43,33</b>	<b>1,41</b>	<b>1,16</b>	<b>1,66</b>
<b>285</b>	<b>250,25</b>	<b>1,14</b>	<b>1,04</b>	<b>1,24</b>

70	76,42	0,92	0,73	1,10
180	200,23	0,90	0,78	1,01
54	49,36	1,09	0,86	1,33
59	52,44	1,13	0,90	1,35

comune	osservati	attesi	shr	Inf IC 90%	Sup IC 90%	comune
2015-m						2015-f
33006	75	67,31	1,114	[0,911383, 1,350231]		33006
33008	28	21,97	1,274	[0,905825, 1,747362]		33008
33013	121	111,11	1,089	[0,931457, 1,266498]		33013
33024	41	34,43	1,191	[0,902322, 1,545130]		33024
33039	95	90,11	1,054	[0,882841, 1,250245]		33039
33042	23	23,02	0,999	[0,682977, 1,415761]		33042
33048	28	28,18	0,994	[0,706247, 1,362370]		33048
2016-m						2016-f
33006	76	66,57	1,142	[0,935080, 1,381631]		33006
33008	23	22,13	1,039	[0,710311, 1,472424]		33008
33013	124	110,91	1,118	[0,958129, 1,297774]		33013
33024	36	34,66	1,039	[0,771347, 1,371822]		33024
33039	112	90,03	1,244	[1,057147, 1,455391]		33039
33042	32	22,79	1,404	[1,022407, 1,886281]		33042
33048	30	27,65	1,085	[0,780938, 1,471557]		33048
2017-m						2017-f
33006	80	66,07	1,211	[0,997150, 1,458384]		33006
33008	24	21,67	1,107	[0,763519, 1,557226]		33008
33013	142	109,5	1,297	[1,123128, 1,490589]		33013
33024	42	34,52	1,217	[0,925236, 1,573744]		33024
33039	91	91,16	0,998	[0,832554, 1,188257]		33039
33042	18	22,78	0,79	[0,510766, 1,171814]		33042
33048	32	26,92	1,188	[0,865273, 1,596378]		33048
2018-m						2018-f
33006	90	64,93	1,386	[1,154818, 1,651557]		33006
33008	30	21,19	1,416	[1,019284, 1,920682]		33008
33013	132	106,96	1,234	[1,062899, 1,425963]		33013
33024	33	33,91	0,973	[0,712253, 1,301230]		33024
33039	98	89,03	1,101	[0,924484, 1,302004]		33039
33042	26	22,38	1,162	[0,814059, 1,612010]		33042
33048	31	26	1,192	[0,863303, 1,609237]		33048
2019-m						2019-f
33006	90	63,59	1,415	[1,179200, 1,686427]		33006
33008	22	20,88	1,053	[0,713196, 1,504317]		33008
33013	137	106,4	1,288	[1,112167, 1,483807]		33013
33024	44	33,85	1,3	[0,995219, 1,671351]		33024
33039	88	89,2	0,987	[0,820134, 1,177809]		33039
33042	22	22,6	0,974	[0,659131, 1,390280]		33042
33048	23	25,84	0,89	[0,608267, 1,260895]		33048
<b>2015-19-m</b>						<b>2015-19-f</b>
<b>33006</b>	<b>411</b>	<b>328,47</b>	<b>1,25</b>	<b>1,16</b>	<b>1,34</b>	<b>33006</b>
<b>33008</b>	<b>127</b>	<b>107,84</b>	<b>1,18</b>	<b>1,02</b>	<b>1,34</b>	<b>33008</b>
<b>33013</b>	<b>656</b>	<b>544,88</b>	<b>1,20</b>	<b>1,13</b>	<b>1,27</b>	<b>33013</b>

33024	196	171,37	1,14	1,02	1,27	33024
33039	484	449,53	1,08	1,00	1,15	33039
33042	121	113,57	1,07	0,91	1,22	33042
33048	144	134,59	1,07	0,93	1,21	33048

osservati	attesi	shr	Inf IC 90%	Sup IC 90%
44	58,29	0,755	[0,577895, 0,970506]	
23	16,55	1,389	[0,949552, 1,968352]	
106	98,64	1,075	[0,908844, 1,262755]	
31	28,78	1,077	[0,779952, 1,453868]	
88	71,9	1,224	[1,017568, 1,461347]	
23	18,48	1,244	[0,850542, 1,763112]	
18	23,55	0,764	[0,493946, 1,133225]	
55	54,78	1,004	[0,792164, 1,256828]	
16	15,72	1,017	[0,638218, 1,545388]	
111	92,63	1,198	[1,017569, 1,402973]	
26	27,48	0,946	[0,663070, 1,313021]	
70	68,44	1,023	[0,830363, 1,247884]	
17	17,32	0,982	[0,625445, 1,472320]	
22	21,6	1,019	[0,689674, 1,454703]	
55	53,53	1,027	[0,810711, 1,286254]	
23	15,4	1,494	[1,020946, 2,116348]	
112	90,2	1,242	[1,055144, 1,452634]	
41	27,29	1,503	[1,138488, 1,949538]	
75	68,06	1,102	[0,901407, 1,335453]	
16	16,82	0,951	[0,596549, 1,444491]	
22	21,29	1,034	[0,699716, 1,475885]	
63	52,56	1,199	[0,961452, 1,478262]	
25	15,02	1,664	[1,157301, 2,324710]	
107	89,02	1,202	[1,017400, 1,411346]	
40	26,61	1,503	[1,134681, 1,956638]	
78	66,92	1,166	[0,957371, 1,407226]	
23	16,3	1,411	[0,964584, 1,999514]	
24	20,43	1,175	[0,810030, 1,652087]	
56	51,72	1,083	[0,856274, 1,352715]	
10	14,33	0,698	[0,378681, 1,183924]	
122	87,53	1,394	[1,192903, 1,619885]	
37	24,96	1,482	[1,105559, 1,950150]	
56	65,84	0,851	[0,672594, 1,062543]	
17	16	1,062	[0,676870, 1,593375]	
22	19,54	1,126	[0,762179, 1,607636]	
<b>273</b>	<b>270,88</b>	<b>1,01</b>	<b>0,91</b>	<b>1,11</b>
<b>97</b>	<b>77,02</b>	<b>1,26</b>	<b>1,07</b>	<b>1,45</b>
<b>558</b>	<b>458,02</b>	<b>1,22</b>	<b>1,14</b>	<b>1,29</b>



175	135,12	1,30	1,15	1,44
367	341,16	1,08	0,99	1,16
96	84,92	1,13	0,95	1,31
108	106,41	1,01	0,86	1,17

comune	osservati	attesi	shr	Inf IC 90%	Sup IC 90%
2015-m					
33006	321	310,25	1,035	[0,941528,	1,134804]
33008	98	102,13	0,96	[0,805851,	1,134927]
33013	543	527,77	1,029	[0,957327,	1,104506]
33024	164	167,89	0,977	[0,854841,	1,111928]
33039	484	444,84	1,088	[1,007980,	1,172967]
33042	138	111,83	1,234	[1,066437,	1,421271]
33048	125	117,94	1,06	[0,908934,	1,229605]
2016-m					
33006	322	307,08	1,049	[0,954359,	1,149929]
33008	110	102,97	1,068	[0,906447,	1,251637]
33013	530	519,83	1,02	[0,947823,	1,095474]
33024	175	167,41	1,045	[0,918863,	1,184988]
33039	455	449,83	1,011	[0,934785,	1,093050]
33042	97	108,84	0,891	[0,747784,	1,055057]
33048	125	116,44	1,074	[0,920612,	1,245402]
2017-m					
33006	329	310,75	1,059	[0,964577,	1,159889]
33008	94	100,01	0,94	[0,786346,	1,115711]
33013	531	524,93	1,012	[0,940448,	1,086800]
33024	166	170,67	0,973	[0,851869,	1,106263]
33039	477	450,27	1,059	[0,980859,	1,142690]
33042	91	108,88	0,836	[0,697065,	0,994880]
33048	120	115,03	1,043	[0,891652,	1,213966]
2018-m					
33006	348	313,42	1,11	[1,014271,	1,213337]
33008	108	99,73	1,083	[0,917390,	1,270625]
33013	524	519,09	1,009	[0,938029,	1,085061]
33024	172	170,07	1,011	[0,887921,	1,147673]
33039	436	445,95	0,978	[0,901969,	1,058291]
33042	103	109,81	0,938	[0,791328,	1,104868]
33048	101	113,65	0,889	[0,748397,	1,048469]
2019-m					
33006	327	305,73	1,07	[0,974172,	1,172097]
33008	89	96,94	0,918	[0,764066,	1,094985]
33013	544	512,44	1,062	[0,987842,	1,139560]
33024	140	168,18	0,832	[0,720199,	0,957807]
33039	419	445,91	0,94	[0,865439,	1,018742]
33042	94	109,65	0,857	[0,717199,	1,017601]
33048	101	113,1	0,893	[0,752043,	1,053577]
2015-19-m					
<b>33006</b>	<b>1647</b>	<b>1547,23</b>	<b>1,06</b>	<b>1,02</b>	<b>1,11</b>
<b>33008</b>	<b>499</b>	<b>501,78</b>	<b>0,99</b>	<b>0,92</b>	<b>1,07</b>
<b>33013</b>	<b>2672</b>	<b>2604,06</b>	<b>1,03</b>	<b>0,99</b>	<b>1,06</b>

33024	817	844,22	0,97	0,91	1,02
33039	2271	2236,8	1,02	0,98	1,05
33042	523	549,01	0,95	0,88	1,02
33048	572	576,16	0,99	0,92	1,06

comune	osservati	attesi	shr	Inf IC 90%	Sup IC 90%
2015-f					
33006	330	380,56	0,867	[0,790147, 0,949870]	
33008	125	115,04	1,087	[0,931773, 1,260501]	
33013	672	663,31	1,013	[0,949691, 1,079790]	
33024	213	211,11	1,009	[0,897979, 1,130276]	
33039	570	543,77	1,048	[0,977083, 1,123393]	
33042	143	133,73	1,069	[0,926574, 1,228478]	
33048	119	131,33	0,906	[0,773963, 1,055135]	
2016-f					
33006	387	374,68	1,033	[0,948051, 1,123499]	
33008	114	111,39	1,023	[0,871000, 1,195655]	
33013	685	647,7	1,058	[0,992013, 1,126514]	
33024	201	207,69	0,968	[0,858320, 1,087847]	
33039	532	534,98	0,994	[0,924593, 1,068330]	
33042	138	129,67	1,064	[0,919742, 1,225765]	
33048	100	127,32	0,785	[0,660825, 0,927388]	
2017-f					
33006	374	367,43	1,018	[0,932888, 1,108819]	
33008	124	108,29	1,145	[0,981340, 1,329212]	
33013	641	635,91	1,008	[0,943417, 1,075991]	
33024	209	203,65	1,026	[0,912380, 1,150973]	
33039	535	537,6	0,995	[0,925466, 1,068899]	
33042	130	126,83	1,025	[0,881758, 1,185683]	
33048	111	124,97	0,888	[0,754221, 1,039882]	
2018-f					
33006	368	364,62	1,009	[0,924318, 1,100200]	
33008	131	106,13	1,234	[1,062474, 1,427029]	
33013	626	631,52	0,991	[0,926999, 1,058943]	
33024	214	201,33	1,063	[0,946287, 1,190427]	
33039	558	527,32	1,058	[0,985595, 1,134894]	
33042	125	123,94	1,009	[0,864880, 1,170008]	
33048	114	120,26	0,948	[0,806762, 1,107473]	
2019-f					
33006	335	359,18	0,933	[0,850479, 1,020966]	
33008	105	101,64	1,033	[0,873029, 1,214944]	
33013	679	617,91	1,099	[1,030430, 1,170803]	
33024	192	192,44	0,998	[0,882283, 1,124506]	
33039	500	523,14	0,956	[0,886560, 1,029120]	
33042	125	119,9	1,042	[0,894006, 1,209410]	
33048	98	116,33	0,842	[0,707527, 0,996451]	
2015-19-f					
<b>33006</b>	<b>1794</b>	<b>1846,47</b>	<b>0,97</b>	<b>0,93</b>	<b>1,01</b>
<b>33008</b>	<b>599</b>	<b>542,49</b>	<b>1,10</b>	<b>1,03</b>	<b>1,17</b>
<b>33013</b>	<b>3303</b>	<b>3196,35</b>	<b>1,03</b>	<b>1,00</b>	<b>1,06</b>

33024	1029	1016,22	1,01	0,96	1,06
33039	2695	2666,81	1,01	0,98	1,04
33042	661	634,07	1,04	0,98	1,11
33048	542	620,21	0,87	0,81	0,94

comune	osservati	attesi	shr	Inf IC 90%	Sup IC 90%	comune
<b>2015-m</b>						
33006	53	42,68	1,242	[0,975228, 1,561213]		33006
33008	7	13,71	0,511	[0,239693, 0,959272]		33008
33013	69	71,41	0,966	[0,783194, 1,180585]		33013
33024	16	22,58	0,708	[0,444370, 1,076004]		33024
33039	47	59,35	0,792	[0,611986, 1,009907]		33039
33042	17	14,91	1,14	[0,726504, 1,710215]		33042
33048	8	17,03	0,47	[0,233770, 0,847662]		33048
<b>2016-m</b>						
33006	37	41,41	0,893	[0,666333, 1,175378]		33006
33008	16	13,73	1,165	[0,731030, 1,770125]		33008
33013	68	69,25	0,982	[0,794620, 1,201542]		33013
33024	21	22,28	0,943	[0,631713, 1,357536]		33024
33039	58	59,35	0,977	[0,776132, 1,216031]		33039
33042	15	14,32	1,048	[0,645768, 1,613115]		33042
33048	10	16,53	0,605	[0,328249, 1,026250]		33048
<b>2017-m</b>						
33006	54	43,01	1,256	[0,988363, 1,575060]		33006
33008	10	13,58	0,736	[0,399441, 1,248828]		33008
33013	59	71,56	0,824	[0,656178, 1,024021]		33013
33024	12	23,36	0,514	[0,296415, 0,832306]		33024
33039	55	60,94	0,903	[0,712090, 1,129784]		33039
33042	12	14,69	0,817	[0,471351, 1,323512]		33042
33048	14	16,78	0,834	[0,504301, 1,304048]		33048
<b>2018-m</b>						
33006	47	44,97	1,045	[0,807564, 1,332651]		33006
33008	20	14,09	1,419	[0,940720, 2,062614]		33008
33013	78	73,31	1,064	[0,873836, 1,284440]		33013
33024	16	23,88	0,67	[0,420233, 1,017556]		33024
33039	53	62,42	0,849	[0,666772, 1,067415]		33039
33042	13	15,43	0,842	[0,498209, 1,339121]		33042
33048	16	17,04	0,939	[0,589108, 1,426473]		33048
<b>2019-m</b>						
33006	53	43,88	1,208	[0,948454, 1,518352]		33006
33008	7	13,76	0,509	[0,238785, 0,955637]		33008
33013	69	73,04	0,945	[0,765739, 1,154273]		33013
33024	16	23,74	0,674	[0,422661, 1,023436]		33024
33039	47	63,16	0,744	[0,575036, 0,948931]		33039
33042	17	15,63	1,088	[0,692955, 1,631240]		33042
33048	8	17,05	0,469	[0,233512, 0,846726]		33048
<b>2015-19-m</b>						
<b>33006</b>	<b>244</b>	<b>215,95</b>	<b>1,13</b>	<b>1,02</b>	<b>1,24</b>	<b>33006</b>
<b>33008</b>	<b>60</b>	<b>68,87</b>	<b>0,87</b>	<b>0,67</b>	<b>1,07</b>	<b>33008</b>
<b>33013</b>	<b>343</b>	<b>358,57</b>	<b>0,96</b>	<b>0,87</b>	<b>1,04</b>	<b>33013</b>
<b>2015-19-f</b>						

33024	81	115,84	0,70	0,55	0,85	33024
33039	260	305,22	0,85	0,76	0,95	33039
33042	74	74,98	0,99	0,80	1,18	33042
33048	56	84,43	0,66	0,48	0,84	33048

osservati	attesi	shr	Inf IC 90%	Sup IC 90%
34	39,61	0,858	[0,631347, 1,142670]	
7	11,81	0,593	[0,278241, 1,113546]	
63	68,59	0,918	[0,736796, 1,132847]	
24	21,25	1,129	[0,778665, 1,588118]	
30	52,76	0,569	[0,409285, 0,771234]	
17	13,22	1,286	[0,819583, 1,929327]	
13	15,26	0,852	[0,503859, 1,354305]	
37	38,62	0,958	[0,714452, 1,260256]	
10	11,3	0,885	[0,480093, 1,500984]	
58	65,94	0,88	[0,698573, 1,094513]	
20	20,71	0,966	[0,640154, 1,403595]	
42	51,62	0,814	[0,618692, 1,052340]	
12	12,75	0,941	[0,543061, 1,524866]	
5	14,46	0,346	[0,136226, 0,726925]	
35	39,97	0,876	[0,647150, 1,160838]	
7	11,56	0,606	[0,284254, 1,137610]	
62	68,58	0,904	[0,723838, 1,116918]	
19	21,49	0,884	[0,579041, 1,297484]	
51	54,9	0,929	[0,725844, 1,173080]	
13	13,29	0,978	[0,578510, 1,554959]	
14	15,13	0,926	[0,559598, 1,447036]	
42	41	1,024	[0,778970, 1,324960]	
11	11,81	0,931	[0,522156, 1,541117]	
83	70,68	1,174	[0,970604, 1,409439]	
16	21,96	0,729	[0,456970, 1,106512]	
57	55,58	1,026	[0,812783, 1,278651]	
12	13,3	0,902	[0,520625, 1,461868]	
16	14,99	1,067	[0,669490, 1,621112]	
34	42,08	0,808	[0,594291, 1,075603]	
7	11,69	0,599	[0,281030, 1,124708]	
63	72,13	0,873	[0,700651, 1,077273]	
24	21,36	1,123	[0,774701, 1,580033]	
30	57,3	0,524	[0,376868, 0,710149]	
17	13,31	1,277	[0,813878, 1,915897]	
13	15,08	0,862	[0,510038, 1,370916]	
<b>182</b>	<b>201,28</b>	<b>0,90</b>	<b>0,79</b>	<b>1,02</b>
<b>42</b>	<b>58,17</b>	<b>0,72</b>	<b>0,51</b>	<b>0,94</b>
<b>329</b>	<b>345,92</b>	<b>0,95</b>	<b>0,86</b>	<b>1,04</b>



103	106,77	0,96	0,81	1,12
210	272,16	0,77	0,67	0,87
71	65,87	1,08	0,88	1,28
61	74,92	0,81	0,62	1,00

comune	osservati	attesi	shr	Inf IC 90%	Sup IC 90%	comune
2015-m						2015-f
33006	46	42,22	1,09	[0,839457, 1,393123]		33006
33008	10	13,93	0,718	[0,389413, 1,217476]		33008
33013	65	71,56	0,908	[0,731318, 1,116683]		33013
33024	26	22,76	1,142	[0,800392, 1,584946]		33024
33039	81	60,38	1,342	[1,106143, 1,613866]		33039
33042	30	15,1	1,986	[1,429600, 2,693861]		33042
33048	28	16,01	1,749	[1,242918, 2,397625]		33048
2016-m						2016-f
33006	57	42,06	1,355	[1,074187, 1,689884]		33006
33008	12	14,01	0,856	[0,494090, 1,387360]		33008
33013	86	71,27	1,207	[1,000893, 1,443617]		33013
33024	27	22,89	1,18	[0,832730, 1,626919]		33024
33039	70	60,72	1,153	[0,935942, 1,406550]		33039
33042	17	14,92	1,139	[0,726067, 1,709187]		33042
33048	13	15,8	0,823	[0,486826, 1,308523]		33048
2017-m						2017-f
33006	53	42,36	1,251	[0,982533, 1,572907]		33006
33008	21	13,85	1,516	[1,016004, 2,183368]		33008
33013	86	71,59	1,201	[0,996423, 1,437170]		33013
33024	30	23,18	1,294	[0,931756, 1,755751]		33024
33039	74	61,6	1,201	[0,981216, 1,457673]		33039
33042	16	14,96	1,07	[0,670921, 1,624577]		33042
33048	19	15,7	1,21	[0,792465, 1,775711]		33048
2018-m						2018-f
33006	56	42,8	1,309	[1,034808, 1,634758]		33006
33008	17	13,95	1,219	[0,776774, 1,828552]		33008
33013	88	71,84	1,225	[1,018361, 1,462486]		33013
33024	29	23,4	1,239	[0,886441, 1,689519]		33024
33039	76	61,69	1,232	[1,009110, 1,491013]		33039
33042	19	15,13	1,256	[0,822173, 1,842279]		33042
33048	13	15,76	0,825	[0,487909, 1,311436]		33048
2019-m						2019-f
33006	30	41,63	0,721	[0,518682, 0,977375]		33006
33008	14	13,48	1,039	[0,628114, 1,624209]		33008
33013	80	70,29	1,138	[0,937288, 1,370833]		33013
33024	22	22,89	0,961	[0,650697, 1,372491]		33024
33039	69	60,56	1,139	[0,923467, 1,392032]		33039
33042	11	14,95	0,736	[0,412585, 1,217724]		33042
33048	15	15,43	0,972	[0,599268, 1,496959]		33048
<b>2015-19-m</b>						<b>2015-19-f</b>
<b>33006</b>	<b>242</b>	<b>211,07</b>	<b>1,15</b>	<b>1,03</b>	<b>1,26</b>	<b>33006</b>
<b>33008</b>	<b>74</b>	<b>69,22</b>	<b>1,07</b>	<b>0,87</b>	<b>1,27</b>	<b>33008</b>
<b>33013</b>	<b>405</b>	<b>356,55</b>	<b>1,14</b>	<b>1,05</b>	<b>1,22</b>	<b>33013</b>

33024	134	115,12	1,16	1,01	1,32	33024
33039	370	304,95	1,21	1,12	1,31	33039
33042	93	75,06	1,24	1,05	1,43	33042
33048	88	78,7	1,12	0,93	1,30	33048

osservati	attesi	shr	Inf IC 90%	Sup IC 90%
43	37,88	1,135	[0,866249,	1,463890]
9	11,32	0,795	[0,414674,	1,387055]
73	65,29	1,118	[0,911910,	1,358503]
16	20,3	0,788	[0,494382,	1,197103]
51	52,52	0,971	[0,758717,	1,226209]
18	13,03	1,381	[0,892756,	2,048188]
14	13,54	1,034	[0,625210,	1,616701]
48	37,36	1,285	[0,995705,	1,634172]
11	11,14	0,987	[0,553666,	1,634116]
64	64,16	0,998	[0,801660,	1,228276]
19	20,15	0,943	[0,617354,	1,383334]
57	52	1,096	[0,868802,	1,366779]
16	12,73	1,257	[0,788407,	1,909059]
8	13,11	0,61	[0,303550,	1,100685]
44	36,67	1,2	[0,918643,	1,542751]
10	10,92	0,916	[0,496861,	1,553406]
54	62,83	0,86	[0,676584,	1,078208]
15	19,93	0,753	[0,463892,	1,158791]
46	51,79	0,888	[0,684297,	1,135627]
27	12,35	2,187	[1,543361,	3,015292]
8	12,97	0,617	[0,306911,	1,112872]
38	36,62	1,038	[0,777115,	1,360050]
20	10,74	1,862	[1,234176,	2,706043]
59	62,82	0,939	[0,747491,	1,166523]
23	19,8	1,162	[0,794066,	1,646041]
47	51,58	0,911	[0,704128,	1,161960]
12	12,24	0,98	[0,565636,	1,588255]
7	12,68	0,552	[0,259086,	1,036884]
21	36,28	0,579	[0,387877,	0,833539]
19	10,35	1,836	[1,202064,	2,693519]
48	62,05	0,774	[0,599559,	0,984009]
15	19,05	0,787	[0,485361,	1,212422]
53	51,27	1,034	[0,811856,	1,299676]
9	12,12	0,743	[0,387509,	1,296191]
9	12,19	0,738	[0,385111,	1,288170]
<b>194</b>	<b>184,81</b>	<b>1,05</b>	<b>0,93</b>	<b>1,17</b>
<b>69</b>	<b>54,47</b>	<b>1,27</b>	<b>1,04</b>	<b>1,49</b>
<b>298</b>	<b>317,15</b>	<b>0,94</b>	<b>0,85</b>	<b>1,03</b>

88	99,23	0,89	0,72	1,05
254	259,16	0,98	0,88	1,08
82	62,47	1,31	1,11	1,52
46	64,49	0,71	0,51	0,92

comune	osservati	attesi	shr	Inf IC 90%	Sup IC 90%	comune
2015-m						2015-f
33006	9	15,31	0,588	[0,306581, 1,025491]		33006
33008	5	5,04	0,993	[0,391268, 2,087868]		33008
33013	26	25,67	1,013	[0,709662, 1,405282]		33013
33024	5	8,05	0,621	[0,244625, 1,305360]		33024
33039	16	21,24	0,753	[0,472434, 1,143958]		33039
33042	4	5,38	0,744	[0,254109, 1,702380]		33042
33048	3	6,08	0,493	[0,134480, 1,275190]		33048
2016-m						2016-f
33006	11	15,46	0,711	[0,399014, 1,177669]		33006
33008	3	5,17	0,581	[0,158242, 1,500511]		33008
33013	18	25,99	0,693	[0,447658, 1,027031]		33013
33024	5	8,24	0,607	[0,238993, 1,275304]		33024
33039	18	21,75	0,828	[0,535025, 1,227470]		33039
33042	3	5,39	0,556	[0,151658, 1,438078]		33042
33048	3	6,09	0,493	[0,134258, 1,273082]		33048
2017-m						2017-f
33006	14	16,17	0,866	[0,523441, 1,353541]		33006
33008	3	5,29	0,568	[0,154719, 1,467101]		33008
33013	40	27,01	1,481	[1,117763, 1,927465]		33013
33024	7	8,62	0,812	[0,381026, 1,524897]		33024
33039	16	22,79	0,702	[0,440359, 1,066289]		33039
33042	3	5,62	0,534	[0,145617, 1,380792]		33042
33048	5	6,32	0,792	[0,311951, 1,664621]		33048
2018-m						2018-f
33006	18	16,4	1,097	[0,709361, 1,627437]		33006
33008	5	5,33	0,937	[0,369323, 1,970767]		33008
33013	28	27,17	1,031	[0,732525, 1,413062]		33013
33024	7	8,73	0,801	[0,376156, 1,505406]		33024
33039	28	22,95	1,22	[0,867274, 1,672996]		33039
33042	7	5,71	1,227	[0,575646, 2,303785]		33042
33048	3	6,3	0,476	[0,129742, 1,230259]		33048
2019-m						2019-f
33006	20	16,86	1,186	[0,785972, 1,723315]		33006
33008	5	5,5	0,909	[0,358031, 1,910510]		33008
33013	36	28,32	1,271	[0,943764, 1,678461]		33013
33024	2	9,14	0,219	[0,038891, 0,689007]		33024
33039	22	24,11	0,912	[0,617684, 1,302858]		33039
33042	5	6,03	0,83	[0,326897, 1,744374]		33042
33048	3	6,52	0,46	[0,125322, 1,188352]		33048
<b>2015-19-m</b>						<b>2015-19-f</b>
<b>33006</b>	<b>72</b>	<b>80,2</b>	<b>0,90</b>	<b>0,71</b>	<b>1,08</b>	<b>33006</b>
<b>33008</b>	<b>21</b>	<b>26,33</b>	<b>0,80</b>	<b>0,48</b>	<b>1,12</b>	<b>33008</b>

33013	148	134,16	1,10	0,96	1,24	33013
33024	26	42,78	0,61	0,36	0,86	33024
33039	100	112,84	0,89	0,73	1,04	33039
33042	22	28,13	0,78	0,47	1,09	33042
33048	17	31,31	0,54	0,25	0,84	33048

osservati	attesi	shr	Inf IC 90%	Sup IC 90%
4	10,87	0,368	[0,125748, 0,842434]	
4	3,21	1,248	[0,426175, 2,855118]	
11	18,66	0,59	[0,330630, 0,975838]	
3	5,73	0,523	[0,142617, 1,352350]	
9	14,63	0,615	[0,320836, 1,073175]	
3	3,66	0,82	[0,223547, 2,119755]	
1	4,01	0,249	[0,012778, 1,181778]	
6	11,2	0,535	[0,233203, 1,056897]	
3	3,3	0,909	[0,247629, 2,348112]	
15	19,15	0,783	[0,482742, 1,205879]	
6	5,97	1,005	[0,437590, 1,983191]	
19	15,25	1,246	[0,815913, 1,828253]	
6	3,75	1,6	[0,696598, 3,157040]	
4	4,03	0,992	[0,338782, 2,269639]	
8	11,45	0,699	[0,347666, 1,260652]	
3	3,35	0,895	[0,243931, 2,313042]	
22	19,52	1,127	[0,763178, 1,609744]	
5	6,11	0,818	[0,322338, 1,720047]	
13	15,74	0,826	[0,488656, 1,313443]	
2	3,78	0,529	[0,093994, 1,665245]	
3	4,19	0,715	[0,194962, 1,848700]	
9	11,9	0,756	[0,394602, 1,319916]	
6	3,45	1,739	[0,757222, 3,431793]	
19	20,34	0,934	[0,611629, 1,370503]	
8	6,35	1,261	[0,627300, 2,274618]	
19	16,38	1,16	[0,759691, 1,702273]	
4	3,89	1,028	[0,351063, 2,351913]	
2	4,21	0,475	[0,084342, 1,494253]	
9	12,24	0,735	[0,383654, 1,283295]	
4	3,46	1,156	[0,394729, 2,644448]	
20	20,84	0,96	[0,635934, 1,394343]	
3	6,31	0,475	[0,129589, 1,228808]	
20	16,94	1,181	[0,782655, 1,716043]	
3	4	0,75	[0,204523, 1,939364]	
3	4,21	0,713	[0,194320, 1,842613]	
<b>36</b>	<b>57,66</b>	<b>0,62</b>	<b>0,41</b>	<b>0,84</b>
<b>20</b>	<b>16,77</b>	<b>1,19</b>	<b>0,79</b>	<b>1,59</b>



87	98,51	0,88	0,72	1,05
25	30,47	0,82	0,52	1,12
80	78,94	1,01	0,83	1,20
18	19,08	0,94	0,57	1,32
13	20,65	0,63	0,27	0,99

comune	osservati	attesi	shr	Inf IC 90%	Sup IC 90%	comune
2015-m						2015-f
33006	18	13,64	1,32	[0,853189, 1,957412]		33006
33008	5	4,41	1,135	[0,447151, 2,386072]		33008
33013	19	22,24	0,854	[0,559369, 1,253404]		33013
33024	12	6,82	1,759	[1,014941, 2,849864]		33024
33039	25	17,75	1,409	[0,979389, 1,967332]		33039
33042	7	4,56	1,535	[0,720412, 2,883151]		33042
33048	9	5,92	1,519	[0,792572, 2,651100]		33048
2016-m						2016-f
33006	13	13,39	0,971	[0,574146, 1,543230]		33006
33008	3	4,44	0,676	[0,184167, 1,746341]		33008
33013	21	22,16	0,948	[0,635039, 1,364684]		33013
33024	5	6,87	0,727	[0,286591, 1,529296]		33024
33039	28	17,73	1,579	[1,122391, 2,165125]		33039
33042	5	4,52	1,107	[0,436115, 2,327180]		33042
33048	4	5,75	0,696	[0,237691, 1,592385]		33048
2017-m						2017-f
33006	18	13,3	1,354	[0,875022, 2,007502]		33006
33008	4	4,34	0,921	[0,314609, 2,107692]		33008
33013	24	21,82	1,1	[0,758414, 1,546814]		33013
33024	15	6,84	2,194	[1,352376, 3,378205]		33024
33039	18	17,96	1,002	[0,647910, 1,486454]		33039
33042	3	4,52	0,664	[0,181044, 1,716732]		33042
33048	7	5,62	1,245	[0,584357, 2,338647]		33048
2018-m						2018-f
33006	24	12,89	1,862	[1,284001, 2,618770]		33006
33008	2	4,18	0,478	[0,084946, 1,504958]		33008
33013	22	21,01	1,047	[0,708976, 1,495417]		33013
33024	3	6,59	0,455	[0,124119, 1,176946]		33024
33039	18	17,25	1,043	[0,674336, 1,547081]		33039
33042	4	4,38	0,914	[0,312116, 2,090991]		33042
33048	5	5,34	0,936	[0,368912, 1,968572]		33048
2019-m						2019-f
33006	14	12,7	1,102	[0,666278, 1,722897]		33006
33008						33008
33013	34	21,16	1,606	[1,181674, 2,138703]		33013
33024	9	6,66	1,352	[0,705214, 2,358892]		33024
33039	18	17,55	1,026	[0,663101, 1,521306]		33039
33042	3	4,49	0,668	[0,182157, 1,727278]		33042
33048	2	5,36	0,373	[0,066237, 1,173496]		33048
<b>2015-19-m</b>						<b>2015-19-f</b>
<b>33006</b>	<b>87</b>	<b>65,92</b>	<b>1,32</b>	<b>1,12</b>	<b>1,52</b>	<b>33006</b>
<b>33008</b>	<b>14</b>	<b>17,37</b>	<b>0,81</b>	<b>0,41</b>	<b>1,20</b>	<b>33008</b>

33013	120	108,39	1,11	0,95	1,26	33013
33024	44	33,78	1,30	1,02	1,58	33024
33039	107	88,24	1,21	1,04	1,39	33039
33042	22	22,47	0,98	0,63	1,33	33042
33048	27	27,99	0,96	0,65	1,27	33048

	osservati	attesi	shr	Inf IC 90%	Sup IC 90%
	14	14,97	0,935	[0,565298, 1,461776]	
	11	4,22	2,606	[1,461739, 4,314249]	
	32	25,28	1,266	[0,921699, 1,700481]	
	10	7,32	1,366	[0,741290, 2,317602]	
	25	18,18	1,375	[0,956323, 1,920999]	
	4	4,69	0,853	[0,291300, 1,951540]	
	5	6,15	0,814	[0,320593, 1,710734]	
	13	14,63	0,889	[0,525762, 1,413178]	
	13	4,17	3,115	[1,842538, 4,952500]	
	31	24,68	1,256	[0,909576, 1,695493]	
	11	7,27	1,513	[0,848480, 2,504245]	
	24	18	1,334	[0,919646, 1,875654]	
	2	4,57	0,438	[0,077765, 1,377739]	
	7	5,85	1,196	[0,561257, 2,246200]	
	13	13,88	0,937	[0,554077, 1,489286]	
	7	3,96	1,766	[0,828751, 3,316730]	
	33	23,32	1,415	[1,035633, 1,892022]	
	13	7,01	1,855	[1,097079, 2,948803]	
	22	17,34	1,269	[0,858796, 1,811426]	
	2	4,31	0,464	[0,082524, 1,462051]	
	4	5,62	0,712	[0,243272, 1,629776]	
	9	13,4	0,672	[0,350408, 1,172090]	
	7	3,81	1,837	[0,862315, 3,451058]	
	23	22,63	1,016	[0,694529, 1,439708]	
	8	6,72	1,191	[0,592434, 2,148195]	
	17	16,78	1,013	[0,645350, 1,519176]	
	3	4,1	0,732	[0,199575, 1,892448]	
	7	5,29	1,323	[0,621155, 2,485916]	
	12	12,9	0,93	[0,536876, 1,507501]	
	2	3,56	0,562	[0,099825, 1,768563]	
	29	21,82	1,329	[0,950984, 1,812535]	
	11	6,16	1,784	[1,000678, 2,953451]	
	7	16,22	0,432	[0,202529, 0,810538]	
	3	3,96	0,758	[0,206617, 1,959222]	
	5	4,93	1,013	[0,399280, 2,130620]	
	<b>61</b>	<b>69,78</b>	<b>0,87</b>	<b>0,68</b>	<b>1,07</b>
	<b>40</b>	<b>19,72</b>	<b>2,03</b>	<b>1,66</b>	<b>2,40</b>

148	117,73	1,26	1,11	1,41
53	34,48	1,54	1,26	1,82
95	86,52	1,10	0,92	1,27
14	21,63	0,65	0,29	1,00
28	27,84	1,01	0,69	1,32

comune	osservati	attesi	shr	Inf IC 90%	Sup IC 90%	comune
2015-m						2015-f
33006	12	9,05	1,326	[0,765260, 2,148782]		33006
33008	1	3	0,333	[0,017103, 1,581744]		
33013	13	15,01	0,866	[0,512172, 1,376650]		33013
33024	4	4,71	0,85	[0,290395, 1,945472]		33024
33039	10	12,33	0,811	[0,440057, 1,375813]		33039
33042	2	3,14	0,636	[0,113008, 2,002122]		33042
33048	3	3,68	0,815	[0,222113, 2,106157]		33048
2016-m						2016-f
33006	12	9,33	1,286	[0,741863, 2,083086]		33006
33008	4	3,13	1,28	[0,437077, 2,928153]		
33013	21	15,62	1,344	[0,900834, 1,935872]		33013
33024	4	4,91	0,814	[0,278003, 1,862452]		
33039	15	12,82	1,17	[0,720983, 1,801001]		33039
33042	3	3,24	0,927	[0,252559, 2,394857]		33042
33048	3	3,76	0,798	[0,217528, 2,062680]		33048
2017-m						2017-f
33006	10	9,29	1,076	[0,583999, 1,825839]		33006
33008	4	3,08	1,297	[0,443009, 2,967893]		
33013	10	15,47	0,646	[0,350667, 1,096341]		33013
33024	4	4,9	0,817	[0,279110, 1,869873]		33024
33039	17	13,01	1,306	[0,832291, 1,959242]		33039
33042	4	3,24	1,235	[0,422007, 2,827197]		33042
33048	3	3,68	0,816	[0,222494, 2,109775]		33048
2018-m						2018-f
33006	13	8,94	1,454	[0,859864, 2,311200]		33006
33008	5	2,96	1,692	[0,666631, 3,557248]		33008
33013	12	14,85	0,808	[0,466433, 1,309701]		33013
33024	5	4,76	1,05	[0,413827, 2,208247]		33024
33039	15	12,53	1,197	[0,738007, 1,843525]		33039
33042	9	3,12	2,881	[1,503202, 5,028108]		33042
33048	6	3,48	1,725	[0,751179, 3,404405]		33048
2019-m						2019-f
33006	12	8,49	1,413	[0,815224, 2,289076]		33006
33008	1	2,82	0,354	[0,018180, 1,681371]		
33013	13	14,24	0,913	[0,540182, 1,451939]		33013
33024	4	4,59	0,871	[0,297357, 1,992117]		33024
33039	10	12,09	0,827	[0,448737, 1,402950]		33039
33042	2	3,04	0,659	[0,117041, 2,073568]		33042
33048	3	3,34	0,898	[0,244751, 2,320821]		33048
<b>2015-19-m</b>						<b>2015-19-f</b>
<b>33006</b>	<b>59</b>	<b>45,1</b>	<b>1,31</b>	<b>1,06</b>	<b>1,55</b>	<b>33006</b>
<b>33008</b>	<b>15</b>	<b>14,99</b>	<b>1,00</b>	<b>0,58</b>	<b>1,42</b>	<b>33008</b>

33013	69	75,19	0,92	0,73	1,11	33013
33024	21	23,87	0,88	0,54	1,22	33024
33039	67	62,78	1,07	0,86	1,27	33039
33042	20	15,78	1,27	0,85	1,68	33042
33048	18	17,94	1,00	0,62	1,39	33048

osservati	attesi	shr	Inf IC 90%	Sup IC 90%
5	5,19	0,964	[0,379699, 2,026133]	
11	8,76	1,255	[0,704066, 2,078016]	
2	2,55	0,786	[0,139621, 2,473606]	
9	6,38	1,41	[0,735461, 2,460066]	
2	1,64	1,216	[0,216120, 3,828909]	
2	2,1	0,954	[0,169556, 3,003950]	
2	4,93	0,406	[0,072076, 1,276944]	
9	8,33	1,081	[0,563881, 1,886143]	
7	6,16	1,136	[0,533369, 2,134589]	
3	1,56	1,92	[0,523284, 4,961972]	
2	1,94	1,031	[0,183251, 3,246583]	
6	4,99	1,202	[0,523418, 2,372172]	
8	8,42	0,951	[0,473023, 1,715204]	
3	2,54	1,18	[0,321700, 3,050481]	
3	6,36	0,472	[0,128574, 1,219187]	
2	1,58	1,267	[0,225049, 3,987100]	
1	1,98	0,506	[0,025945, 2,399533]	
7	4,87	1,438	[0,674819, 2,700683]	
3	1,4	2,144	[0,584259, 5,540167]	
5	8,25	0,606	[0,238853, 1,274559]	
6	2,47	2,434	[1,059875, 4,803439]	
8	6,23	1,284	[0,638851, 2,316503]	
2	1,52	1,314	[0,233450, 4,135940]	
2	1,89	1,06	[0,188396, 3,337737]	
5	4,39	1,14	[0,449131, 2,396635]	
11	7,44	1,479	[0,829637, 2,448631]	
2	2,13	0,94	[0,167092, 2,960306]	
9	5,62	1,602	[0,835794, 2,795675]	
2	1,38	1,452	[0,257966, 4,570283]	
2	1,65	1,213	[0,215463, 3,817266]	
<b>25</b>	<b>24,37</b>	<b>1,03</b>	<b>0,69</b>	<b>1,36</b>
<b>3</b>	<b>1,4</b>	<b>2,14</b>	<b>0,76</b>	<b>3,53</b>



44	41,2	1,07	0,81	1,32
13	9,69	1,34	0,81	1,87
36	30,75	1,17	0,87	1,47
11	7,68	1,43	0,84	2,02
9	9,56	0,94	0,41	1,47

comune	osservati	attesi	shr	Inf IC 90%	Sup IC 90%	comune
2015-m						2015-f
33006	19	14,82	1,282	[0,839642, 1,881423]		33006
33008	5	4,94	1,012	[0,398783, 2,127973]		33008
33013	26	24,71	1,052	[0,737306, 1,460024]		33013
33024	6	7,74	0,775	[0,337403, 1,529138]		33024
33039	20	20,33	0,984	[0,652103, 1,429794]		33039
33042	5	5,2	0,962	[0,378933, 2,022049]		33042
33048	4	6,01	0,666	[0,227484, 1,524006]		33048
2016-m						2016-f
33006	22	14,64	1,502	[1,017055, 2,145237]		33006
33008	5	4,92	1,016	[0,400307, 2,136103]		
33013	34	24,58	1,383	[1,017324, 1,841246]		33013
33024	6	7,72	0,777	[0,338602, 1,534571]		
33039	26	20,21	1,287	[0,901678, 1,785514]		33039
33042	9	5,12	1,758	[0,917104, 3,067651]		33042
33048	5	5,88	0,85	[0,335011, 1,787675]		33048
2017-m						2017-f
33006	18	14,49	1,242	[0,802680, 1,841533]		33006
33008	5	4,83	1,035	[0,407850, 2,176353]		
33013	23	24,25	0,949	[0,648306, 1,343892]		33013
33024	10	7,63	1,31	[0,710636, 2,221762]		33024
33039	28	20,36	1,375	[0,977377, 1,885388]		33039
33042	5	5,09	0,981	[0,386688, 2,063431]		33042
33048	7	5,71	1,227	[0,575692, 2,303968]		33048
2018-m						2018-f
33006	20	13,83	1,446	[0,958525, 2,101653]		33006
33008	6	4,58	1,31	[0,570645, 2,586211]		33008
33013	22	23,04	0,955	[0,646542, 1,363726]		33013
33024	10	7,37	1,356	[0,735859, 2,300620]		33024
33039	24	19,41	1,236	[0,852432, 1,738568]		33039
33042	11	4,85	2,266	[1,270761, 3,750587]		33042
33048	8	5,37	1,491	[0,741972, 2,690426]		33048
2019-m						2019-f
33006	26	13,24	1,964	[1,375946, 2,724667]		33006
33008	3	4,39	0,683	[0,186228, 1,765879]		33008
33013	21	22,22	0,945	[0,633332, 1,361015]		33013
33024	9	7,17	1,255	[0,654938, 2,190722]		33024
33039	18	18,83	0,956	[0,617825, 1,417433]		33039
33042	5	4,74	1,055	[0,415748, 2,218499]		33042
33048	4	5,18	0,772	[0,263544, 1,765591]		33048
<b>2015-19-m</b>						<b>2015-19-f</b>
<b>33006</b>	<b>105</b>	<b>71,02</b>	<b>1,48</b>	<b>1,28</b>	<b>1,67</b>	<b>33006</b>
<b>33008</b>	<b>24</b>	<b>23,66</b>	<b>1,01</b>	<b>0,68</b>	<b>1,35</b>	<b>33008</b>

33013	126	118,8	1,06	0,91	1,21	33013
33024	41	37,63	1,09	0,82	1,36	33024
33039	116	99,14	1,17	1,01	1,33	33039
33042	35	25	1,40	1,07	1,73	33042
33048	28	28,15	0,99	0,69	1,30	33048

osservati	attesi	shr	Inf IC 90%	Sup IC 90%
5	7,54	0,663	[0,261231, 1,393971]	
1	2,15	0,464	[0,023813, 2,202304]	
17	12,77	1,332	[0,848548, 1,997511]	
2	3,71	0,539	[0,095708, 1,695612]	
10	9,4	1,064	[0,577455, 1,805380]	
4	2,42	1,653	[0,564561, 3,782225]	
2	3	0,667	[0,118473, 2,098941]	
4	7,08	0,565	[0,192975, 1,292815]	
16	11,98	1,335	[0,837420, 2,027739]	
11	8,97	1,227	[0,688003, 2,030606]	
6	2,28	2,637	[1,148378, 5,204544]	
4	2,74	1,459	[0,498302, 3,338327]	
9	6,95	1,295	[0,675488, 2,259461]	
13	11,76	1,106	[0,654007, 1,757884]	
8	3,56	2,248	[1,118795, 4,056803]	
5	8,96	0,558	[0,219781, 1,172788]	
2	2,23	0,897	[0,159445, 2,824830]	
1	2,72	0,368	[0,018884, 1,746519]	
8	6,85	1,167	[0,580804, 2,106022]	
3	1,98	1,513	[0,412254, 3,909144]	
14	11,65	1,202	[0,726507, 1,878638]	
7	3,49	2,006	[0,941636, 3,768507]	
11	8,88	1,239	[0,694812, 2,050702]	
6	2,18	2,758	[1,201317, 5,444465]	
3	2,63	1,14	[0,310723, 2,946392]	
10	6,22	1,609	[0,872699, 2,728443]	
1	1,75	0,572	[0,029356, 2,714960]	
17	10,58	1,606	[1,023496, 2,409345]	
4	3,04	1,314	[0,448909, 3,007420]	
11	8,06	1,365	[0,765455, 2,259201]	
2	1,99	1,007	[0,178969, 3,170722]	
3	2,32	1,296	[0,353114, 3,348360]	
<b>36</b>	<b>34,64</b>	<b>1,04</b>	<b>0,76</b>	<b>1,32</b>
<b>5</b>	<b>5,88</b>	<b>0,85</b>	<b>0,17</b>	<b>1,53</b>

77	58,74	1,31	1,10	1,52
21	13,8	1,52	1,08	1,96
48	44,27	1,08	0,84	1,33
20	11,1	1,80	1,31	2,29
13	13,41	0,97	0,52	1,42

comune	osservati	attesi	shr	Inf IC 90%	Sup IC 90%	comune
2015-m						2015-f
33039	1	0,57	1,761	[0,090339, 8,354973]		33006
2016-m						2016-f
33039	1	0,54	1,863	[0,095568, 8,838606]		33013 33024
2017-m						2017-f
33039	1	0,54	1,851	[0,094957, 8,782113]		33006
33042	1	0,12	8,3	[0,425717, 3,9e+01]		
2018-m						2018-f
33006	1	0,33	3,049	[0,156417, 1,4e+01]		33013
33013	1	0,54	1,84	[0,094380, 8,728728]		33039
33042	1	0,12	8,403	[0,431029, 4,0e+01]		33042
2019-m						2019-f
33039	1	0,41	2,431	[0,124697, 1,2e+01]		nulla
<b>2015-19-m</b>						<b>2015-19-f</b>
<b>33006</b>	<b>1</b>	<b>0,33</b>	<b>3,03</b>	<b>0,18</b>	<b>5,89</b>	<b>33006</b>
<b>33008</b>						<b>33008</b>
<b>33013</b>	<b>1</b>	<b>0,54</b>	<b>1,85</b>	<b>-0,38</b>	<b>4,08</b>	<b>33013</b>
<b>33024</b>						<b>33024</b>
<b>33039</b>	<b>4</b>	<b>2,06</b>	<b>1,94</b>	<b>0,80</b>	<b>3,08</b>	<b>33039</b>
<b>33042</b>	<b>2</b>	<b>0,24</b>	<b>8,33</b>	<b>4,99</b>	<b>11,68</b>	<b>33042</b>
<b>33048</b>						<b>33048</b>

osservati	attesi	shr	Inf IC 90%	Sup IC 90%
1	0,5	2,004	[0,102787,	9,506284]
1	0,78	1,278	[0,065538,	6,061319]
1	0,27	3,731	[0,191357,	1,8e+01]
1	0,4	2,494	[0,127917,	1,2e+01]
1	0,78	1,278	[0,065561,	6,063395]
1	0,7	1,428	[0,073259,	6,775326]
1	0,16	6,087	[0,312236,	2,9e+01]
<b>2</b>	<b>0,9</b>	<b>2,22</b>	<b>0,49</b>	<b>3,95</b>
<b>2</b>	<b>1,56</b>	<b>1,28</b>	<b>-0,03</b>	<b>2,60</b>
<b>1</b>	<b>0,27</b>	<b>3,7</b>	<b>0,55</b>	<b>6,86</b>
<b>1</b>	<b>0,7</b>	<b>1,428</b>	<b>-0,53</b>	<b>3,39</b>
<b>1</b>	<b>0,16</b>	<b>6,25</b>	<b>2,15</b>	<b>10,35</b>

comune	osservati	attesi	shr	Inf IC 90%	Sup IC 90%	comune
2015-m				2015-f		
33006	2	3,72	0,538	[0,095517, 1,692237]		33006
33008	2	1,23	1,62	[0,287872, 5,100109]		33008
33013	5	6,19	0,807	[0,318057, 1,697205]		33013
33024	5	1,91	2,615	[1,030484, 5,498830]		33024
33039	4	5,01	0,798	[0,272741, 1,827201]		33039
33042	2	1,3	1,542	[0,273920, 4,852928]		33042
33048	2	1,57	1,272	[0,226065, 4,005096]		
2016-m				2016-f		
33006	3	3,6	0,834	[0,227277, 2,155123]		33006
33008	2	1,21	1,653	[0,293703, 5,203412]		
33013	5	6,05	0,827	[0,325860, 1,738843]		33013
33024	2	1,86	1,075	[0,191095, 3,385545]		
33039	9	4,88	1,846	[0,962993, 3,221146]		33039
33042	2	1,26	1,588	[0,282103, 4,997894]		33042
33048	2	1,51	1,323	[0,235107, 4,165292]		33048
2017-m				2017-f		
33006	4	3,38	1,183	[0,404198, 2,707889]		33006
33008	1	1,12	0,89	[0,045669, 4,223735]		
33013	11	5,64	1,95	[1,093798, 3,228289]		33013
						33024
33039	3	4,63	0,649	[0,176770, 1,676200]		33039
33042	1	1,19	0,843	[0,043225, 3,997648]		
33048	1	1,4	0,715	[0,036667, 3,391154]		
2018-m				2018-f		
33006	5	3,31	1,509	[0,594585, 3,172799]		33006
33008	1	1,09	0,92	[0,047195, 4,364845]		
33013	5	5,49	0,91	[0,358655, 1,913841]		33013
						33024
33039	3	4,52	0,664	[0,181074, 1,717010]		33039
						33042
						33048
2019-m				2019-f		
33006	5	3,23	1,549	[0,610547, 3,257980]		33006
33008	1	1,06	0,944	[0,048413, 4,477501]		
33013	2	5,4	0,37	[0,065804, 1,165828]		33013
33024	1	1,71	0,585	[0,030028, 2,777101]		33024
33039	5	4,48	1,117	[0,440193, 2,348939]		33039
						33042
						33048
<b>2015-19-m</b>				<b>2015-19-f</b>		
<b>33006</b>	<b>19</b>	<b>17,24</b>	<b>1,10</b>	<b>0,71</b>	<b>1,50</b>	<b>33006</b>
<b>33008</b>	<b>7</b>	<b>5,71</b>	<b>1,23</b>	<b>0,54</b>	<b>1,91</b>	<b>33008</b>



33013	28	28,77	0,97	0,67	1,28	33013
33024	8	5,48	1,46	0,76	2,16	33024
33039	24	23,52	1,02	0,68	1,36	33039
33042	5	3,75	1,33	0,49	2,18	33042
33048	5	4,48	1,12	0,34	1,89	33048

osservati	attesi	shr	Inf IC 90%	Sup IC 90%
1	2,05	0,487	[0,024968,	2,309211]
2	0,6	3,338	[0,593089,	1,1e+01]
5	3,5	1,428	[0,562773,	3,003049]
1	1,03	0,972	[0,049858,	4,611098]
1	2,68	0,373	[0,019143,	1,770398]
1	0,69	1,455	[0,074620,	6,901224]
3	1,96	1,532	[0,417434,	3,958268]
3	3,33	0,9	[0,245273,	2,325766]
5	2,61	1,915	[0,754606,	4,026698]
1	0,66	1,514	[0,077658,	7,182228]
1	0,71	1,404	[0,072010,	6,659815]
3	1,9	1,578	[0,430092,	4,078293]
3	3,27	0,918	[0,250251,	2,372969]
1	0,99	1,007	[0,051648,	4,776668]
2	2,57	0,78	[0,138519,	2,454085]
2	1,88	1,067	[0,189517,	3,357590]
3	3,23	0,928	[0,253023,	2,399262]
2	0,98	2,044	[0,363202,	6,434697]
4	2,57	1,559	[0,532546,	3,567743]
2	0,63	3,15	[0,559713,	9,916202]
1	0,69	1,453	[0,074549,	6,894649]
1	2,03	0,494	[0,025326,	2,342250]
3	3,5	0,858	[0,233920,	2,218113]
4	1,03	3,875	[1,323615,	8,867434]
3	2,76	1,087	[0,296207,	2,808741]
1	0,69	1,451	[0,074448,	6,885309]
1	0,72	1,387	[0,071153,	6,580588]
<b>10</b>	<b>9,82</b>	<b>1,02</b>	<b>0,49</b>	<b>1,54</b>
<b>2</b>	<b>0,6</b>	<b>3,33</b>	<b>1,22</b>	<b>5,45</b>

17	16,83	1,01	0,61	1,41
8	4,03	1,99	1,17	2,80
15	13,19	1,14	0,69	1,59
5	2,67	1,87	0,87	2,88
3	2,12	1,42	0,29	2,54

comune	osservati	attesi	shr	Inf IC 90%	Sup IC 90%	comune
2015-m						2015-f
33006	5	12,53	0,399	[0,157235, 0,839033]		33006
33008	3	3,98	0,753	[0,205318, 1,946901]		33008
33013	21	20,55	1,022	[0,684882, 1,471796]		33013
33024	3	6,42	0,467	[0,127288, 1,206988]		33024
33039	20	16,7	1,197	[0,793612, 1,740065]		33039
33042	6	4,23	1,417	[0,617224, 2,797308]		33042
33048	6	5,29	1,134	[0,493662, 2,237314]		33048
2016-m						2016-f
33006	6	11,85	0,506	[0,220565, 0,999620]		33006
33008	2	3,9	0,513	[0,091080, 1,613626]		33008
33013	9	19,54	0,46	[0,240236, 0,803573]		33013
33024	7	6,21	1,127	[0,529047, 2,117290]		33024
33039	23	16,22	1,418	[0,969039, 2,008747]		33039
33042	4	3,99	1,003	[0,342458, 2,294266]		33042
33048	1	5,01	0,199	[0,010230, 0,946117]		33048
2017-m						2017-f
33006	17	12,4	1,371	[0,873418, 2,056057]		33006
33008	5	3,93	1,272	[0,501214, 2,674559]		33008
33013	12	20,27	0,592	[0,341540, 0,959014]		33013
33024	5	6,53	0,766	[0,301816, 1,610536]		33024
33039	9	16,93	0,531	[0,277254, 0,927396]		33039
33042	5	4,14	1,208	[0,475807, 2,538981]		33042
33048	4	5,17	0,774	[0,264451, 1,771662]		33048
2018-m						2018-f
33006	8	12,81	0,624	[0,310696, 1,126597]		33006
33008	2	4,04	0,495	[0,087926, 1,557742]		33008
33013	30	20,64	1,453	[1,045971, 1,970971]		33013
33024	2	6,61	0,303	[0,053771, 0,952638]		33024
33039	13	17,24	0,754	[0,445950, 1,198655]		33039
33042	5	4,32	1,158	[0,456159, 2,434136]		33042
33048	5	5,15	0,971	[0,382671, 2,041992]		33048
2019-m						2019-f
33006	17	12,66	1,343	[0,855786, 2,014549]		33006
33008	1	4,05	0,247	[0,012656, 1,170499]		33008
33013	22	21,02	1,047	[0,708667, 1,494765]		33013
33024	2	6,7	0,298	[0,053011, 0,939172]		33024
33039	8	17,79	0,45	[0,223732, 0,811263]		33039
33042	9	4,48	2,009	[1,048056, 3,505677]		33042
33048	3	5,23	0,573	[0,156255, 1,481670]		33048
<b>2015-19-m</b>						<b>2015-19-f</b>
<b>33006</b>	<b>53</b>	<b>62,25</b>	<b>0,85</b>	<b>0,64</b>	<b>1,06</b>	<b>33006</b>
<b>33008</b>	<b>13</b>	<b>19,9</b>	<b>0,65</b>	<b>0,29</b>	<b>1,02</b>	<b>33008</b>
<b>33013</b>	<b>94</b>	<b>102,02</b>	<b>0,92</b>	<b>0,76</b>	<b>1,08</b>	<b>33013</b>

33024	19	32,47	0,59	0,30	0,87	33024
33039	73	84,88	0,86	0,68	1,04	33039
33042	29	21,16	1,37	1,01	1,73	33042
33048	19	25,85	0,74	0,41	1,06	33048

osservati	attesi	shr	Inf IC 90%	Sup IC 90%
12	11,56	1,038	[0,598904, 1,681669]	
2	3,39	0,589	[0,104722, 1,855317]	
15	19,89	0,754	[0,464955, 1,161447]	
4	6,05	0,661	[0,225821, 1,512863]	
8	14,89	0,537	[0,267285, 0,969188]	
2	3,76	0,531	[0,094435, 1,673071]	
1	4,61	0,217	[0,011118, 1,028281]	
5	11,06	0,452	[0,178177, 0,950779]	
6	3,2	1,876	[0,816910, 3,702301]	
13	18,78	0,692	[0,409470, 1,100603]	
6	5,77	1,04	[0,453059, 2,053300]	
5	14,23	0,351	[0,138499, 0,739053]	
2	3,55	0,563	[0,100108, 1,773574]	
9	11,46	0,785	[0,409646, 1,370237]	
2	3,28	0,61	[0,108387, 1,920252]	
17	19,47	0,873	[0,556444, 1,309888]	
5	5,99	0,835	[0,329016, 1,755680]	
12	15,02	0,799	[0,460896, 1,294154]	
4	3,68	1,086	[0,371015, 2,485577]	
3	4,53	0,662	[0,180452, 1,711112]	
13	11,7	1,111	[0,657280, 1,766682]	
5	3,34	1,497	[0,589705, 3,146758]	
24	19,97	1,202	[0,828653, 1,690070]	
4	6,09	0,657	[0,224322, 1,502821]	
14	15,22	0,92	[0,555925, 1,437540]	
2	3,67	0,545	[0,096902, 1,716771]	
1	4,47	0,224	[0,011486, 1,062325]	
11	12,12	0,908	[0,509200, 1,502879]	
2	3,34	0,598	[0,106285, 1,883003]	
27	20,64	1,308	[0,923427, 1,804116]	
4	5,99	0,668	[0,228072, 1,527949]	
4	15,92	0,251	[0,085834, 0,575034]	
5	3,75	1,333	[0,525082, 2,801924]	
6	4,49	1,336	[0,581971, 2,637539]	
<b>50</b>	<b>57,9</b>	<b>0,86</b>	<b>0,65</b>	<b>1,08</b>
<b>17</b>	<b>16,55</b>	<b>1,03</b>	<b>0,62</b>	<b>1,43</b>
<b>96</b>	<b>98,75</b>	<b>0,97</b>	<b>0,81</b>	<b>1,14</b>

23	29,89	0,77	0,47	1,07
43	75,28	0,57	0,38	0,76
15	18,41	0,81	0,43	1,20
11	18,1	0,61	0,22	0,99

comune	osservati	attesi	shr	Inf IC 90%	Sup IC 90%	comune
2015-m						2015-f
33006	3	4,34	0,691	[0,188247,	1,785032]	33006
						33008
33013	11	6,97	1,578	[0,885037,	2,612141]	33013
33024	3	2,11	1,422	[0,387662,	3,675956]	
33039	7	5,44	1,286	[0,603497,	2,415246]	33039
33042	1	1,41	0,712	[0,036504,	3,376096]	
33048	1	1,97	0,507	[0,025988,	2,403508]	33048
2016-m						2016-f
33006	5	3,59	1,394	[0,549178,	2,930500]	33006
33008	2	1,16	1,726	[0,306651,	5,432805]	33008
33013	10	5,81	1,722	[0,934367,	2,921244]	33013
33024	1	1,81	0,553	[0,028374,	2,624179]	33024
33039	5	4,7	1,064	[0,419097,	2,236367]	33039
						33042
33048	1	1,59	0,627	[0,032162,	2,974517]	
2017-m						2017-f
33006	5	3,59	1,394	[0,549178,	2,930500]	33006
33008	2	1,16	1,726	[0,306651,	5,432805]	33008
33013	10	5,81	1,722	[0,934367,	2,921244]	33013
33024	1	1,81	0,553	[0,028374,	2,624179]	33024
33039	5	4,7	1,064	[0,419097,	2,236367]	33039
						33042
33048	1	1,59	0,627	[0,032162,	2,974517]	
2018-m						2018-f
33006	1	3,05	0,328	[0,016842,	1,557608]	33006
33008	1	0,98	1,021	[0,052379,	4,844281]	
33013	5	4,9	1,02	[0,401949,	2,144864]	33013
						33024
33039	5	3,96	1,262	[0,497358,	2,653983]	33039
33042	1	1,02	0,984	[0,050490,	4,669608]	33042
33048	1	1,31	0,763	[0,039112,	3,617284]	33048
2019-m						2019-f
33006	4	2,71	1,476	[0,504095,	3,377134]	33006
33008	1	0,89	1,128	[0,057880,	5,353079]	
33013	5	4,5	1,112	[0,438070,	2,337613]	33013
						33024
33039	4	3,68	1,087	[0,371462,	2,488575]	33039
33042	3	0,95	3,151	[0,858858,	8,144012]	33042
2015-19-m						2015-19-f
<b>33006</b>	<b>18</b>	<b>17,28</b>	<b>1,04</b>	<b>0,65</b>	<b>1,44</b>	<b>33006</b>
<b>33008</b>	<b>6</b>	<b>4,19</b>	<b>1,43</b>	<b>0,63</b>	<b>2,23</b>	<b>33008</b>



33013	41	27,99	1,46	1,15	1,77	33013
33024	5	5,73	0,87	0,19	1,56	33024
33039	26	22,48	1,16	0,81	1,50	33039
33042	5	3,38	1,48	0,59	2,37	33042
33048	4	6,46	0,62	-0,03	1,26	33048

osservati	attesi	shr	Inf IC 90%	Sup IC 90%
3	4,13	0,726	[0,197966, 1,877187]	
2	1,16	1,721	[0,305822, 5,418131]	
3	6,98	0,43	[0,117218, 1,111504]	
5	4,99	1,003	[0,395195, 2,108827]	
3	1,7	1,76	[0,479787, 4,549522]	
1	3,58	0,279	[0,014333, 1,325551]	
2	1,02	1,96	[0,348316, 6,170976]	
3	6,02	0,498	[0,135770, 1,287417]	
5	1,8	2,782	[1,096106, 5,848999]	
4	4,43	0,904	[0,308676, 2,067942]	
1	1,11	0,903	[0,046294, 4,281503]	
1	3,58	0,279	[0,014333, 1,325551]	
2	1,02	1,96	[0,348316, 6,170976]	
3	6,02	0,498	[0,135770, 1,287417]	
5	1,8	2,782	[1,096106, 5,848999]	
4	4,43	0,904	[0,308676, 2,067942]	
1	1,11	0,903	[0,046294, 4,281503]	
4	2,85	1,402	[0,478779, 3,207534]	
3	4,85	0,619	[0,168769, 1,600332]	
2	1,43	1,402	[0,249176, 4,414546]	
3	3,57	0,841	[0,229310, 2,174405]	
2	0,88	2,273	[0,403864, 7,155092]	
2	1,14	1,759	[0,312459, 5,535708]	
4	2,78	1,439	[0,491422, 3,292232]	
1	4,73	0,211	[0,010847, 1,003155]	
2	1,33	1,505	[0,267472, 4,738693]	
1	3,49	0,286	[0,014679, 1,357566]	
1	0,86	1,163	[0,059650, 5,516728]	
<b>13</b>	<b>16,92</b>	<b>0,77</b>	<b>0,37</b>	<b>1,17</b>
<b>6</b>	<b>3,2</b>	<b>1,88</b>	<b>0,96</b>	<b>2,79</b>

13	28,6	0,45	0,15	0,76
14	6,36	2,20	1,55	2,85
17	20,91	0,81	0,45	1,17
5	3,96	1,26	0,44	2,09
5	2,84	1,76	0,79	2,73